



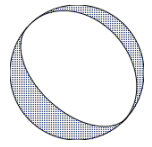
CENTRAL_ITALY
INT-20230309_0000214
2023-03-09 15:05:40

Nome evento:	CENTRAL_ITALY
ESM ID:	INT-20230309_0000214
ID EMSC:	20230309_0000214
ID ISC:	625811351
ID INGV:	34293041
ID USGS:	us7000jiim
CPTI15 ID:	

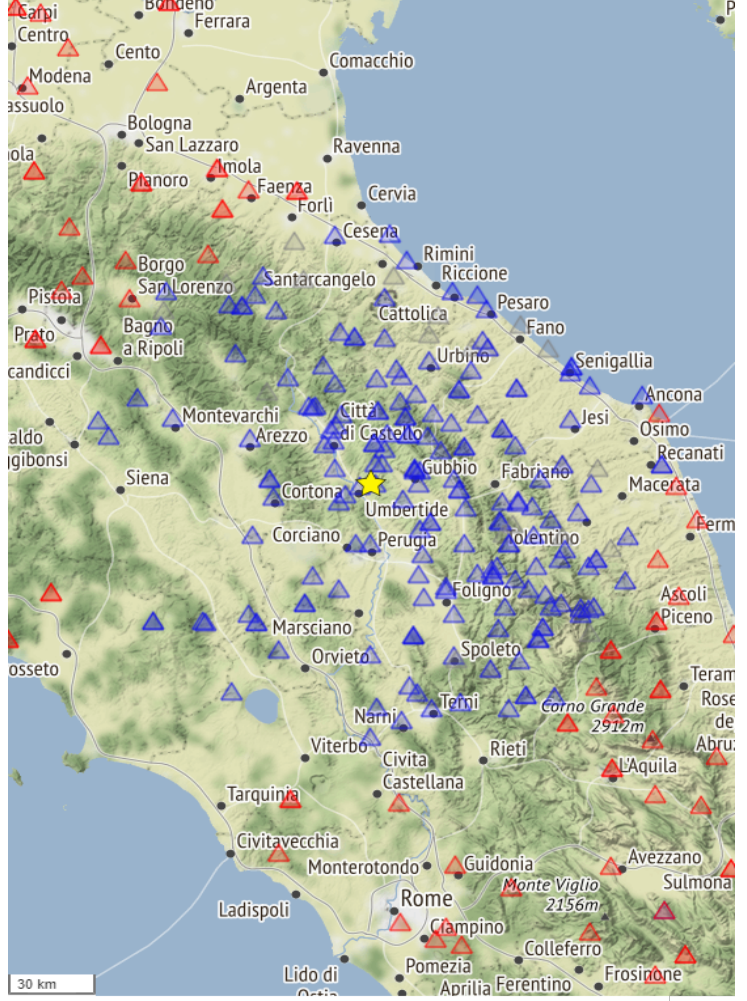
Parametri dell'evento

Latitudine [°]: 43.297
Longitudine [°]: 12.389
Profondità [Km]: 9.800
Magnitudo momento: 4.3
Magnitudo locale: 4.4
Meccanismo focale: Normale
Momento sismico [dyne · cm]: $3.03956 \cdot 10^{22}$
Note:

Strike [°]: 132.0 - 334.0
Dip [°]: 54.0 - 38.0
Rake [°]: -103.0 - -72.0



CENTRAL_ITALY (INT-20230309_0000214)

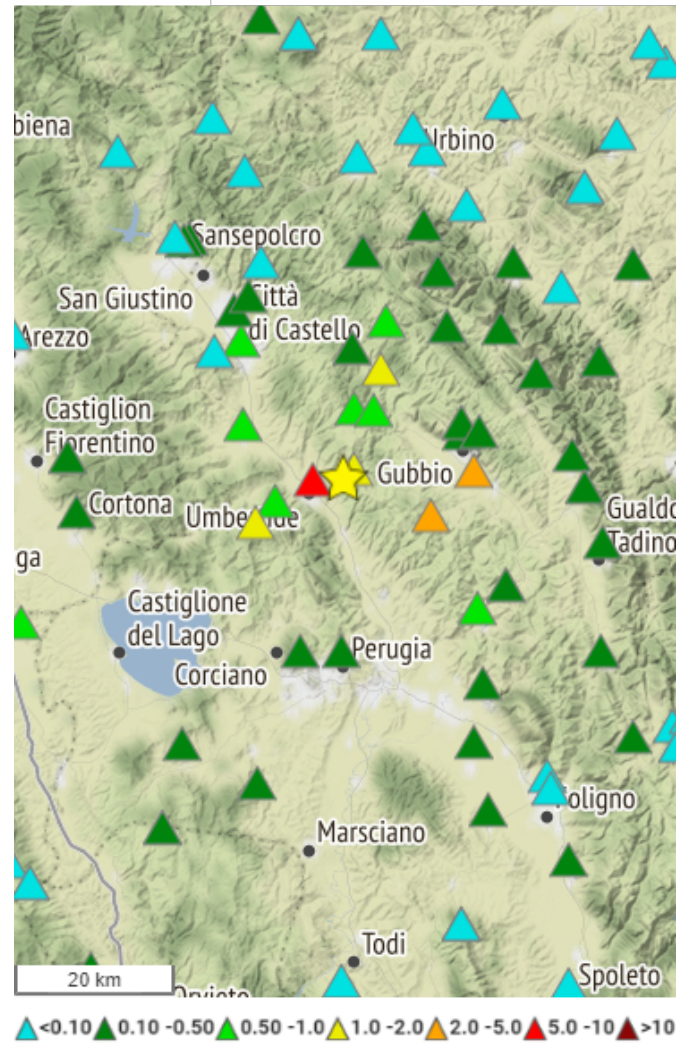
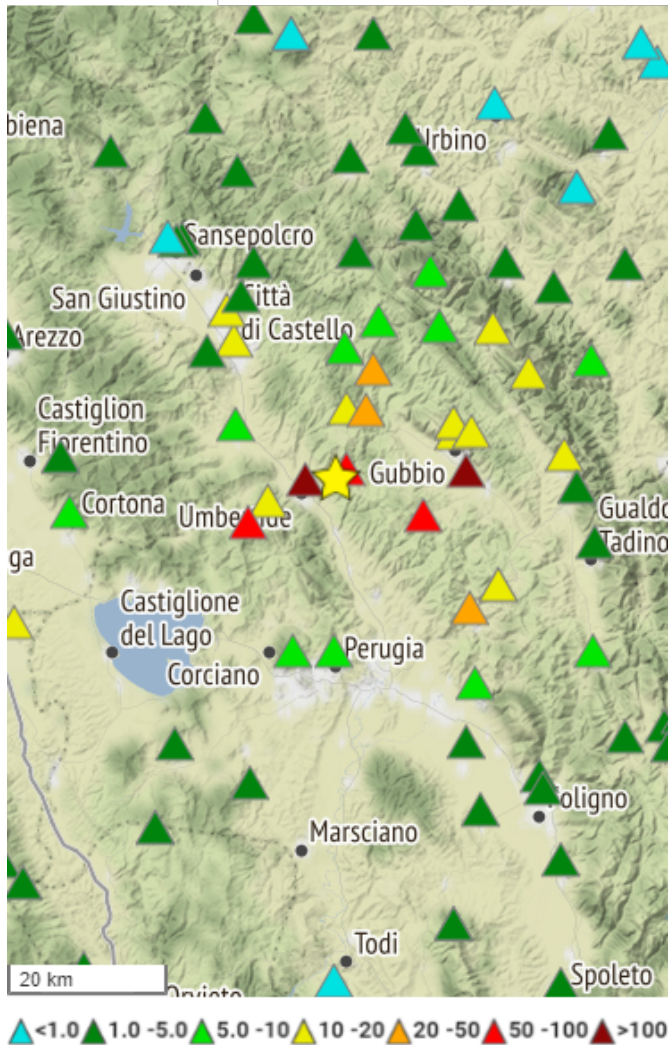


▲ Elaborazione manuale ▲ Elaborazione automatica ▲ Segnale di cattiva qualità

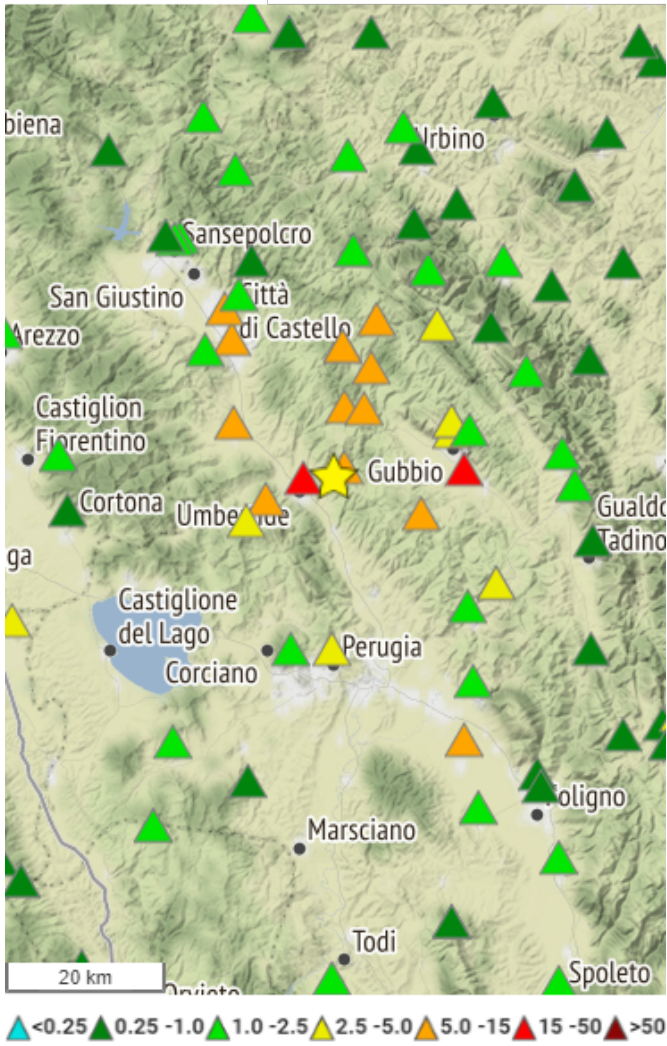
Componenti orizzontali

PGA-H [cm/s²]

PGV-H [cm/s]



SA-H T=1s [cm/s²]



Dati registrazioni orizzontali

Rete	Staz.	Sens.	Str.	EC8	Metodo	Vs30 [m/s]	Repi [km]	Rhyp [km]	PGA-H [cm/s ²]	PGV-H [cm/s]	SA-H T=1s [cm/s ²]
IV	ATLO		HN	B	Prova geofisica	761	2.5	10.1	86.61	1.695	9.983
IT	UMBT	00	HG	C	Geologia di superficie		3.8	10.5	131.9	8.118	42.42
IV	ATVA		EH	A	Geologia di superficie		8.7	13.1	12.57	0.5793	5.347
IV	ATVO		HN	A	Prova geofisica	1036	9.6	13.7	11.78	0.529	5.886
IV	TB01	01	DH				10.1	14.1	25.34	0.8462	5.452
IV	MURB		HN	B	Geologia di superficie		11.6	15.2	86.14	2.400	11.47
IT	UMB	00	HG	B	Geologia di superficie		11.8	15.4	53.34	1.628	4.316
IT	CDCT	00	HN	B	Topografia	373	14.6	17.6	9.767	0.5985	8.973
IT	PTL	00	HG	B	Geologia di superficie		15.3	18.2	49.22	1.835	6.816
IT	GBSL	00	HN	B	Topografia	795	16.2	18.9	16.59	0.4145	3.532
IT	GBP	00	HG	C	Prova geofisica	224	16.4	19.1	160.7	4.005	15.96
IV	ATFO		HH	A	Geologia di superficie		16.7	19.4	14.20	0.4436	3.252
IV	ATFO		HN	A	Geologia di superficie		16.7	19.4	13.51	0.424	3.128
IV	ATPI		EH	B	Geologia di superficie		17.1	19.7	4.934	0.2572	3.746
IV	ATPI		HN	B	Geologia di superficie		17.1	19.7	7.400	0.3856	5.664
IT	GBB	00	HG	B	Geologia di superficie		18.2	20.6	16.80	0.4769	1.894
IT	PRGP	00	HN	B	Geologia di superficie		20.6	22.8	5.909	0.4262	4.333
IV	ATPC		HN	B	Geologia di superficie		21.2	23.3	9.064	0.6284	5.882
IT	PRG	00	HN	B	Geologia di superficie		21.3	23.4	6.134	0.2518	1.835
IV	CDCA		HN	C	Prova geofisica	277	21.9	24.0	13.91	0.5768	7.280
IT	VLFB	00	HN	B	Topografia	503	22.7	24.7	28.66	0.7634	1.803
IV	ATMC		EH	B	Geologia di superficie		23.0	25.1	3.849	0.09787	1.341
IV	ATBU		HN	B	Geologia di superficie		23.7	25.6	8.168	0.3664	4.932
IV	ATBU		EH	B	Geologia di superficie		23.7	25.6	8.160	0.3647	4.899
IV	ATCC		EH	E	Prova geofisica	653	23.8	25.8	12.31	0.4358	3.996

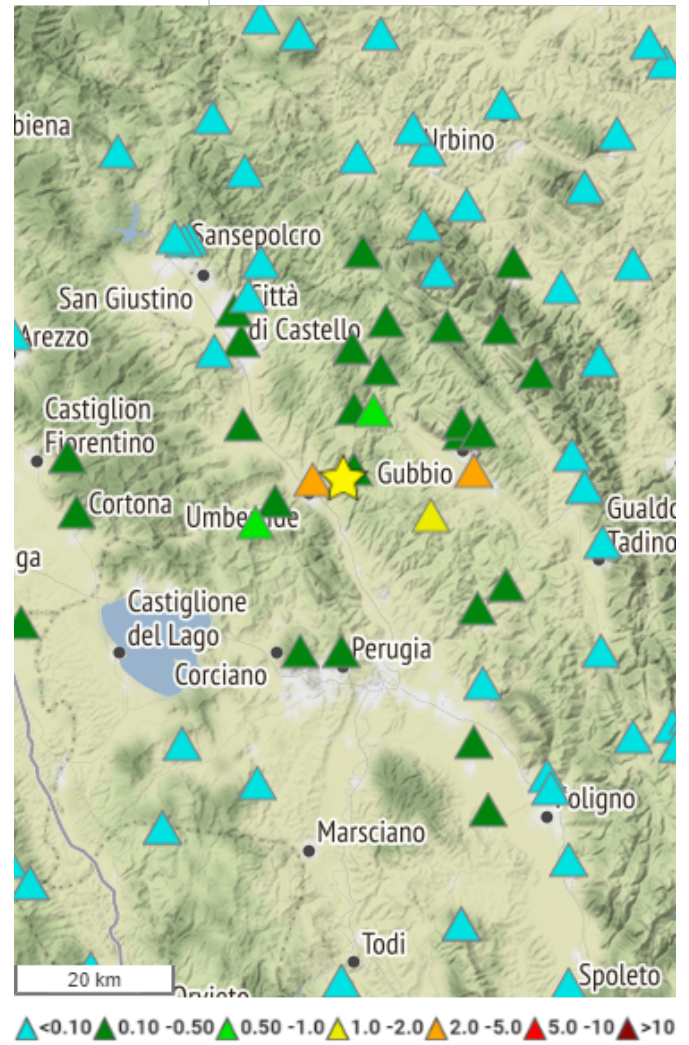
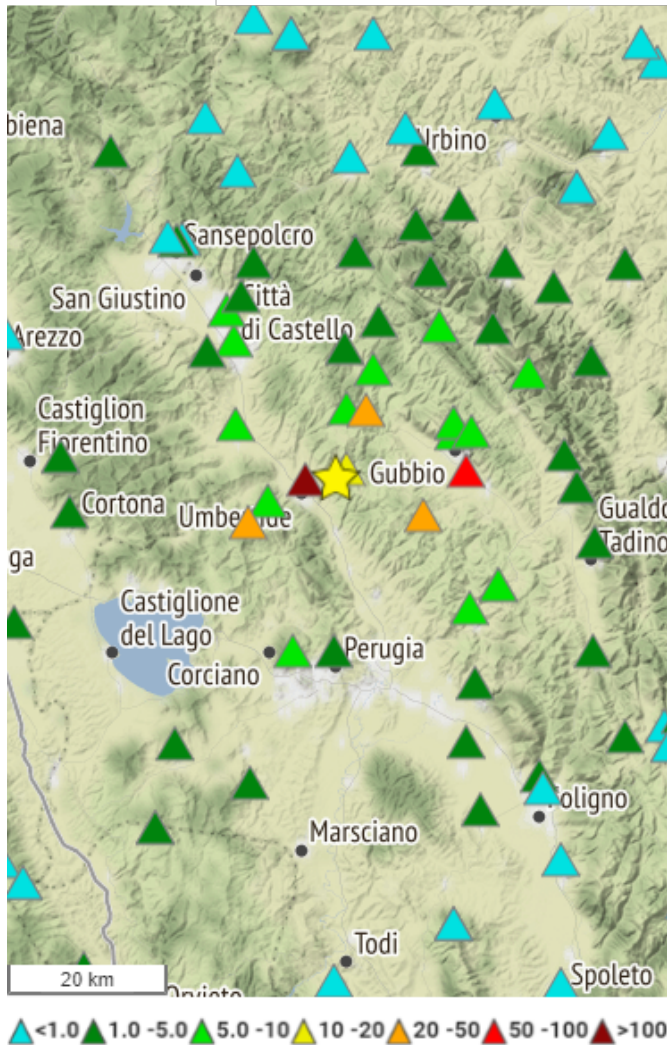
Rete	Staz.	Sens.	Str.	EC8	Metodo	Vs30 [m/s]	Repi [km]	Rhyp [km]	PGA-H [cm/s ²]	PGV-H [cm/s]	SA-H T=1s [cm/s ²]
IV	ATCC		HN	E	Prova geofisica	653	23.8	25.8	12.61	0.4342	4.402
IT	CTS	00	HG	C	Geologia di superficie		25.5	27.3	11.56	0.3885	6.172
IV	BADI		EH	B	Geologia di superficie		26.4	28.2	3.059	0.125	1.173
IT	CNTN	00	HN	B	Topografia	489	27.6	29.3	13.94	0.241	0.8825
IV	ATSC		EH	A	Geologia di superficie		27.9	29.6	19.83	0.473	1.043

Note: DH: sensore in foro

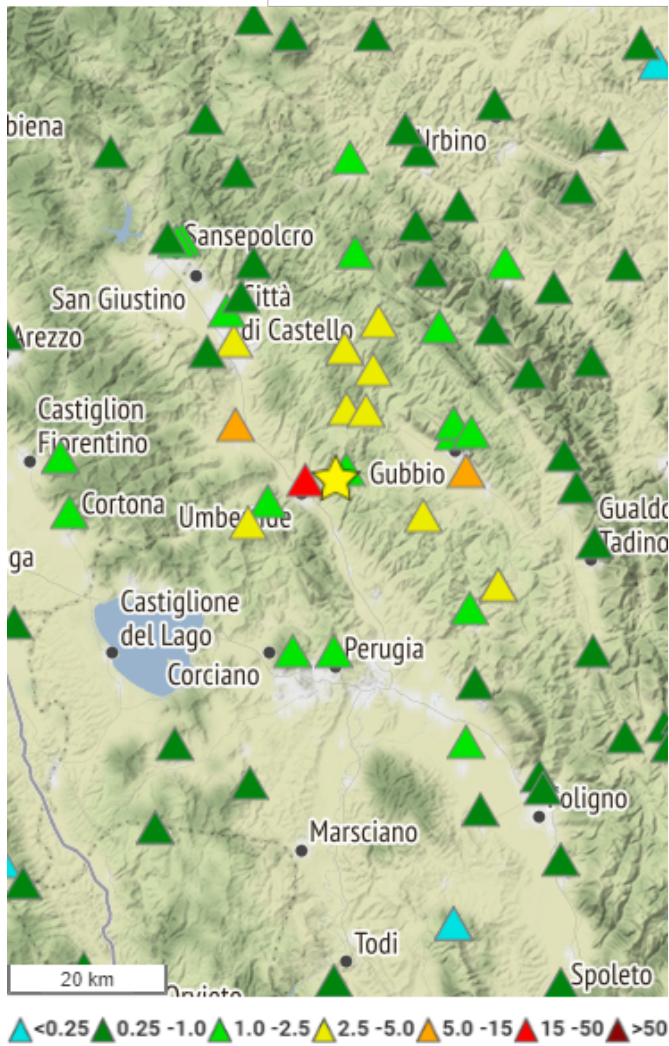
Componenti verticali

PGA-V [cm/s²]

PGV-V [cm/s]



SA-V T=1s [cm/s²]



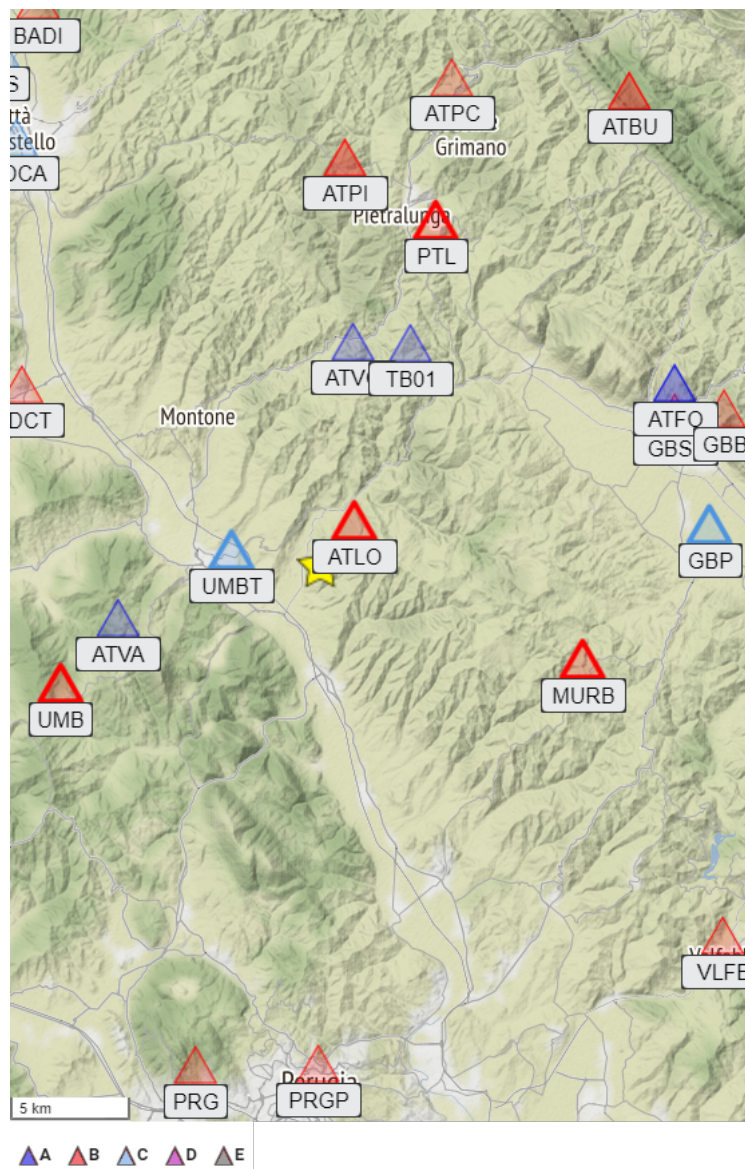
Dati registrazioni verticali

Rete	Staz.	Sens.	Str.	EC8	Metodo	Vs30 [m/s]	Repi [km]	Rhyp [km]	PGA-V [cm/s ²]	PGV-V [cm/s]	SA-V T=1s [cm/s ²]
IV	ATLO		HN	B	Prova geofisica	761	2.5	10.1	18.10	0.4054	1.538
IT	UMBT	00	HG	C	Geologia di superficie		3.8	10.5	196.8	4.141	31.13
IV	ATVA		EH	A	Geologia di superficie		8.7	13.1	7.200	0.2768	1.902
IV	ATVO		HN	A	Prova geofisica	1036	9.6	13.7	8.152	0.356	4.820
IV	TB01	01	DH				10.1	14.1	20.59	0.7876	4.678
IV	MURB		HN	B	Geologia di superficie		11.6	15.2	43.47	1.454	5.000
IT	UMB	00	HG	B	Geologia di superficie		11.8	15.4	21.75	0.6595	3.860
IT	CDCT	00	HN	B	Topografia	373	14.6	17.6	5.062	0.3389	6.042
IT	PTL	00	HG	B	Geologia di superficie		15.3	18.2	9.650	0.3002	2.760
IT	GBSL	00	HN	B	Topografia	795	16.2	18.9	8.494	0.2915	2.259
IT	GBP	00	HG	C	Prova geofisica	224	16.4	19.1	80.07	2.136	8.115
IV	ATFO		HH	A	Geologia di superficie		16.7	19.4	6.890	0.2794	2.412
IV	ATFO		HN	A	Geologia di superficie		16.7	19.4	6.623	0.2689	2.374
IV	ATPI		EH	B	Geologia di superficie		17.1	19.7	2.032	0.1733	2.301
IV	ATPI		HN	B	Geologia di superficie		17.1	19.7	3.020	0.2555	3.406
IT	GBB	00	HG	B	Geologia di superficie		18.2	20.6	8.169	0.2095	1.370
IT	PRGP	00	HN	B	Geologia di superficie		20.6	22.8	4.384	0.2964	1.862
IV	ATPC		HN	B	Geologia di superficie		21.2	23.3	3.060	0.1779	2.596
IT	PRG	00	HN	B	Geologia di superficie		21.3	23.4	5.588	0.1839	1.702
IV	CDCA		HN	C	Prova geofisica	277	21.9	24.0	6.820	0.3546	2.935
IT	VLFB	00	HN	B	Topografia	503	22.7	24.7	5.413	0.1347	1.388
IV	ATMC		EH	B	Geologia di superficie		23.0	25.1	1.740	0.06082	0.6108
IV	ATBU		HN	B	Geologia di superficie		23.7	25.6	5.405	0.2207	2.249
IV	ATBU		EH	B	Geologia di superficie		23.7	25.6	5.375	0.2188	2.238
IV	ATCC		EH	E	Prova geofisica	653	23.8	25.8	4.956	0.2828	2.847

Rete	Staz.	Sens.	Str.	EC8	Metodo	Vs30 [m/s]	Repi [km]	Rhyp [km]	PGA-V [cm/s ²]	PGV-V [cm/s]	SA-V T=1s [cm/s ²]
IV	ATCC		HN	E	Prova geofisica	653	23.8	25.8	5.119	0.282	2.842
IT	CTS	00	HG	C	Geologia di superficie		25.5	27.3	5.051	0.1961	1.925
IV	BADI		EH	B	Geologia di superficie		26.4	28.2	2.464	0.09323	0.9497
IT	CNTN	00	HN	B	Topografia	489	27.6	29.3	4.603	0.1445	0.9917
IV	ATSC		EH	A	Geologia di superficie		27.9	29.6	8.129	0.2088	0.7459

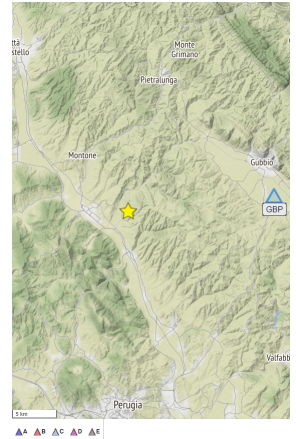
Registrazioni selezionate

Rete	Stazione	ID sensore	Nome stazione	Repi [km]	Strumento	PGA-H
IT	GBP	00	GUBBIO PIANA	16.4	HG	160.7
IT	UMBT	00	UMBERTIDE	3.8	HG	131.9
IV	ATLO		AVT Montelovesco	2.5	HN	86.61
IV	MURB		MONTE URBINO	11.6	HN	86.14
IT	UMB	00	UMBERTIDE	11.8	HG	53.34
IT	PTL	00	PIETRALUNGA	15.3	HG	49.22

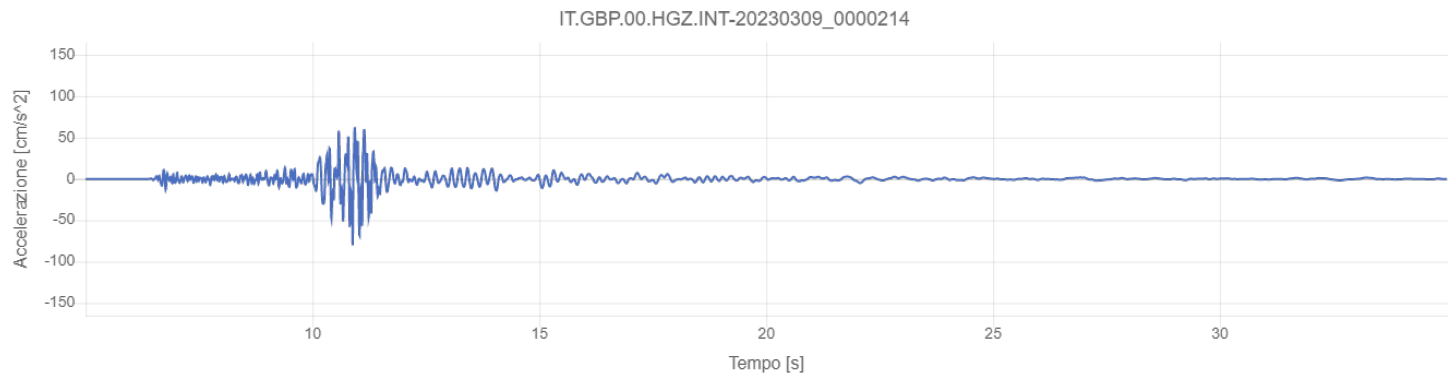
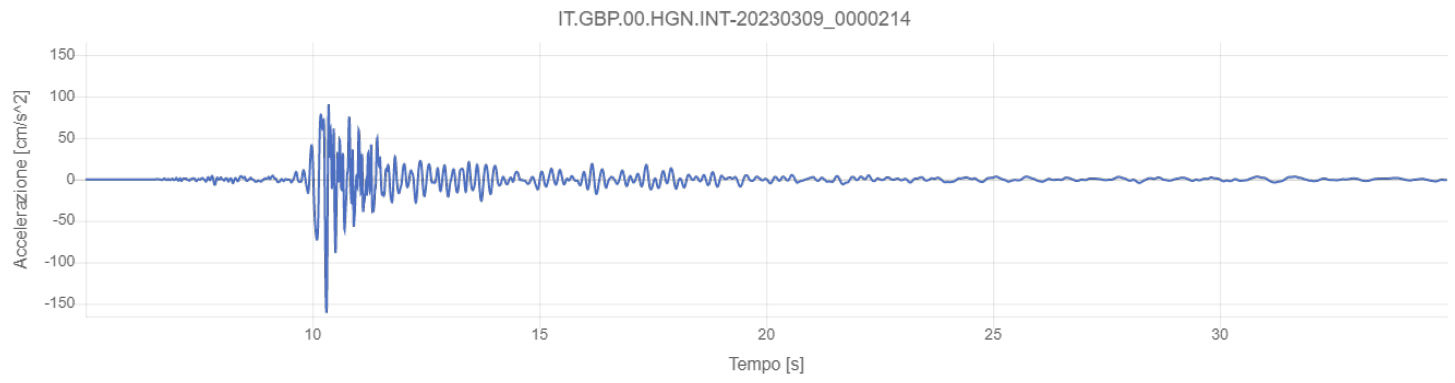
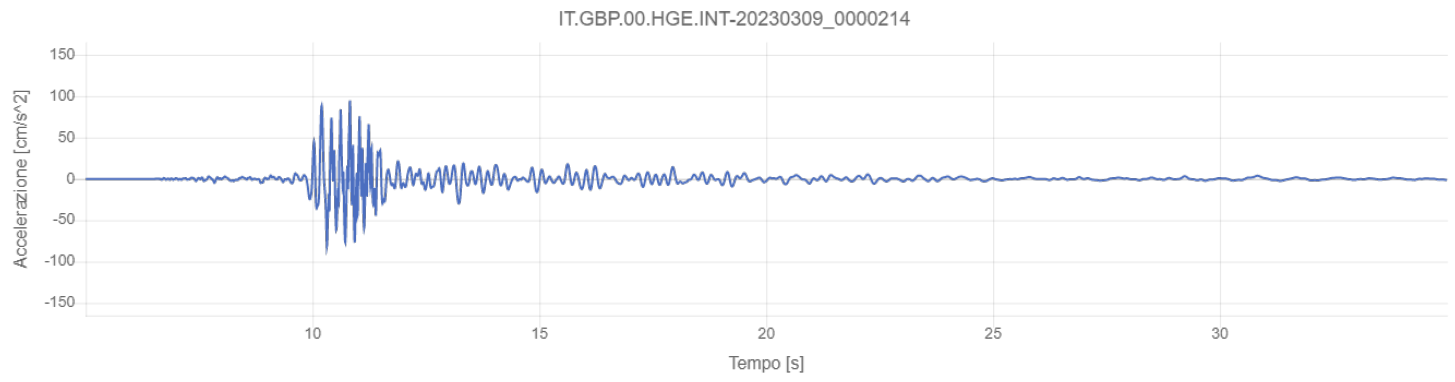


IT.GBP.00 (GUBBIO PIANA)

Codice rete:	IT	Descrizione rete:	Italian Strong Motion Network (RAN)
Stazione:	GBP	Nome stazione:	GUBBIO PIANA
ID sensore:	00	Strumento:	HG
Processamento:	manuale (Paolucci et al., 2011)		
Rjb [km]:		Repi [km]:	16.4
Rrup [km]:		Rhyp [km]:	19.1
Classe EC8:	C	Vs30 [m/s]:	224



IT.GBP.00 - Accelerazione



IT.GBP.00 - Velocità

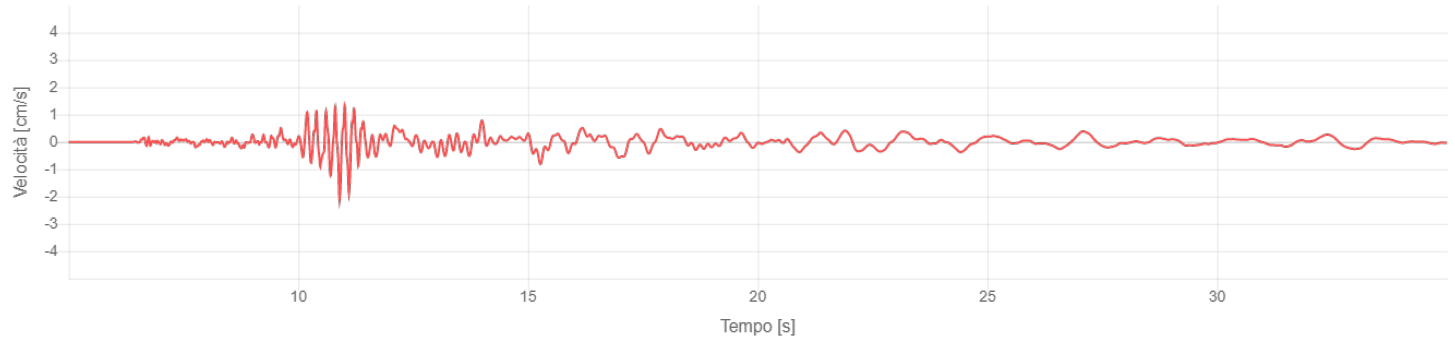
IT.GBP.00.HGE.INT-20230309_0000214



IT.GBP.00.HGN.INT-20230309_0000214



IT.GBP.00.HGZ.INT-20230309_0000214



IT.GBP.00 - Spostamento

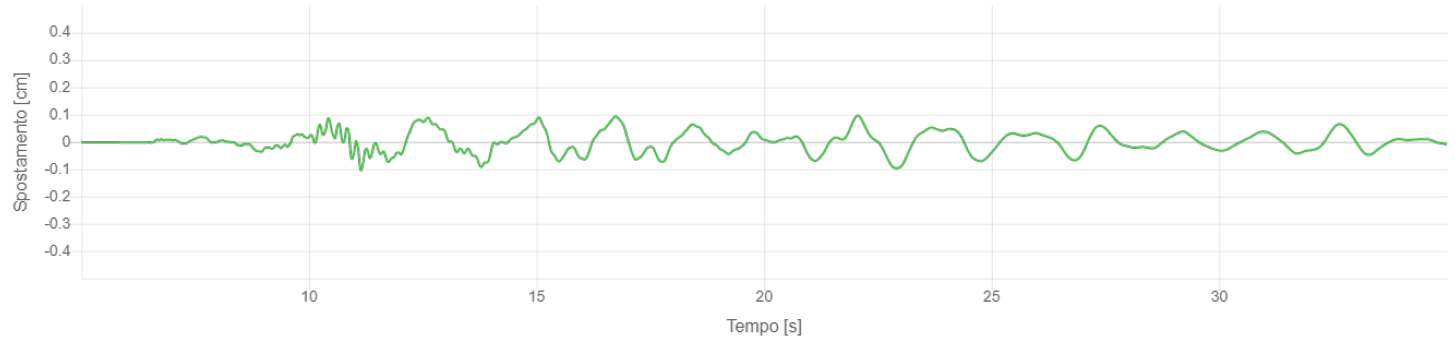
IT.GBP.00.HGE.INT-20230309_0000214



IT.GBP.00.HGN.INT-20230309_0000214

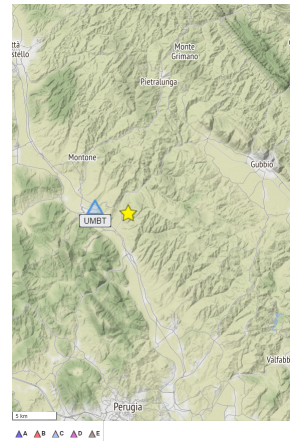


IT.GBP.00.HGZ.INT-20230309_0000214



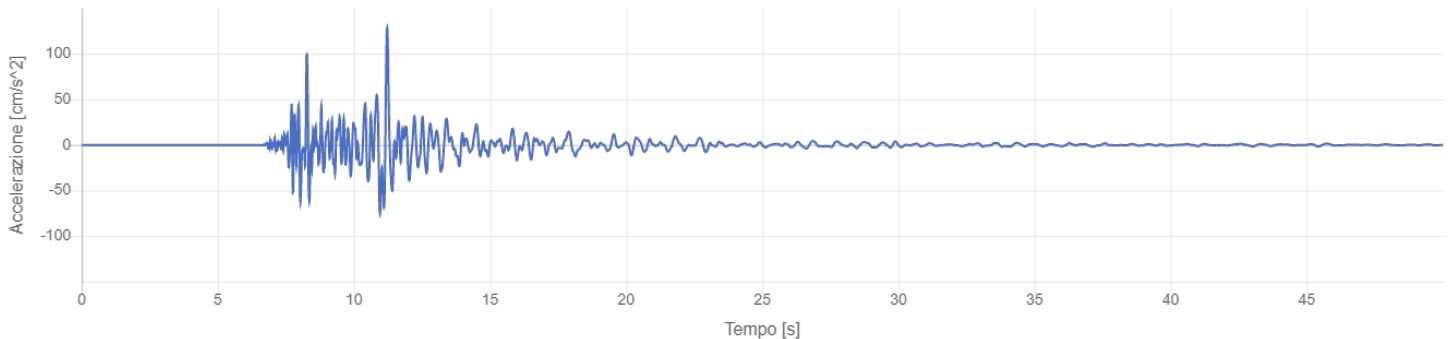
IT.UMBT.00 (UMBERTIDE)

Codice rete:	IT	Descrizione rete:	Italian Strong Motion Network (RAN)
Stazione:	UMBT	Nome stazione:	UMBERTIDE
ID sensore:	00	Strumento:	HG
Processamento:	manuale (Paolucci et al., 2011)		
Rjb [km]:		Repi [km]:	3.8
Rrup [km]:		Rhyp [km]:	10.5
Classe EC8:	C	Vs30 [m/s]:	

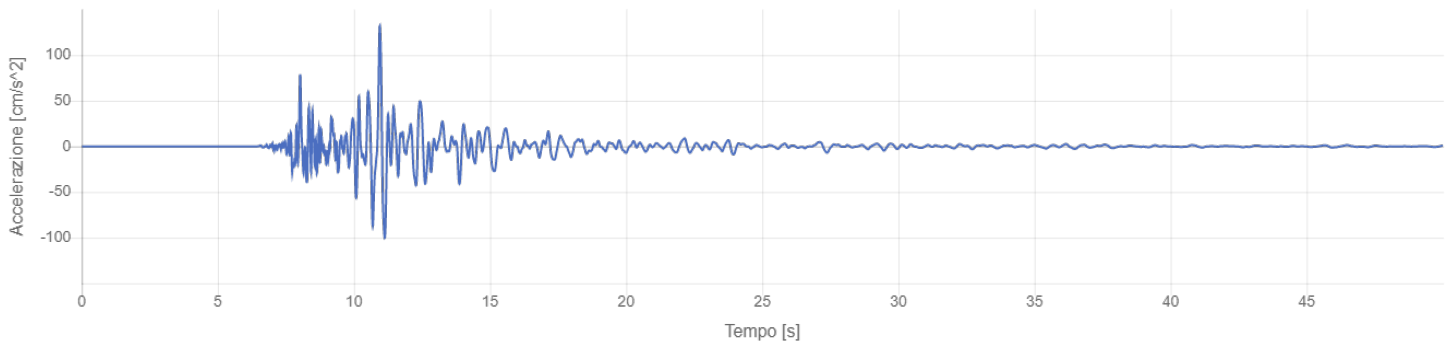


IT.UMBT.00 - Accelerazione

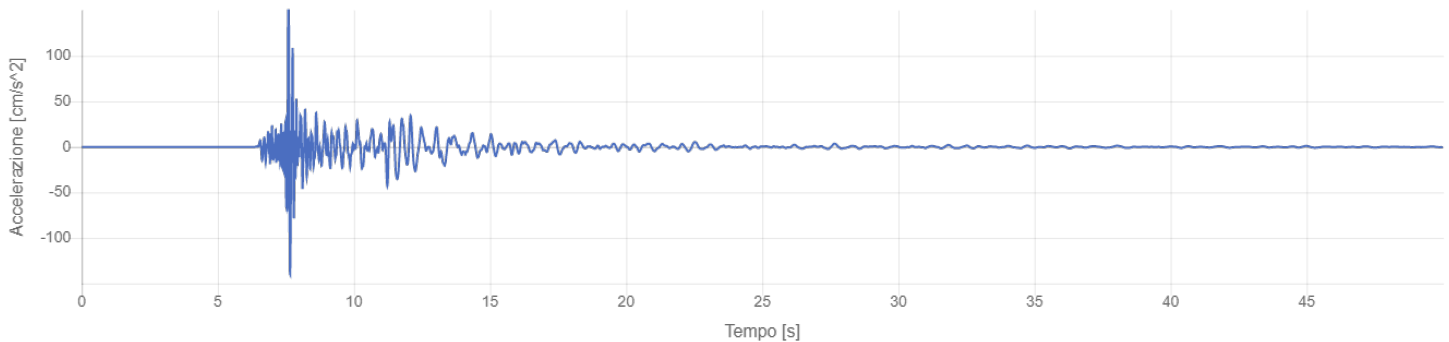
IT.UMBT.00.HGE.INT-20230309_0000214



IT.UMBT.00.HGN.INT-20230309_0000214

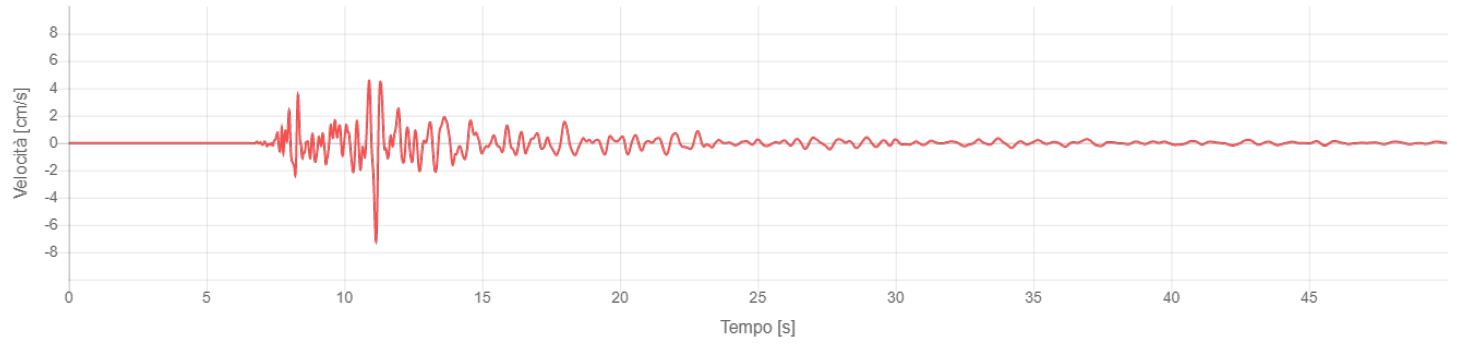


IT.UMBT.00.HGZ.INT-20230309_0000214

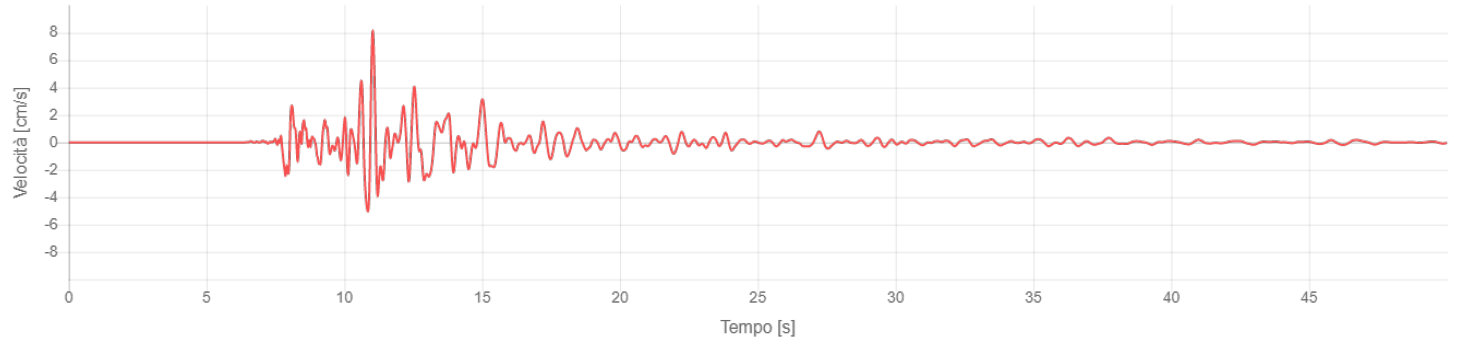


IT.UMBT.00 - Velocità

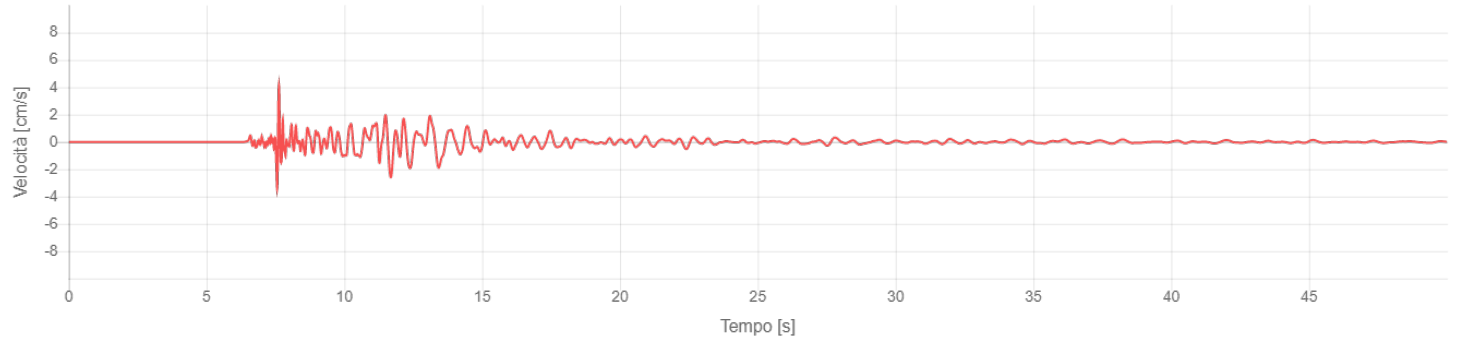
IT.UMBT.00.HGE.INT-20230309_0000214



IT.UMBT.00.HGN.INT-20230309_0000214

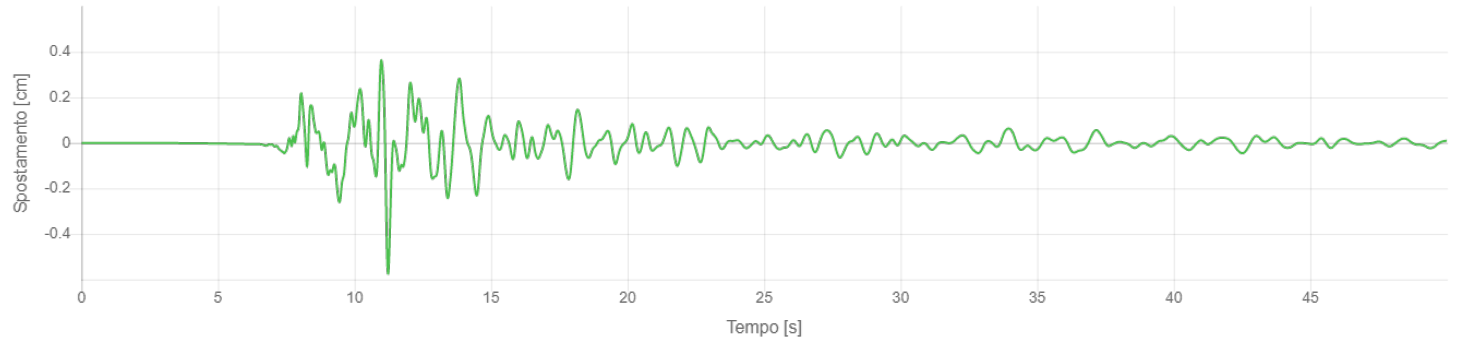


IT.UMBT.00.HGZ.INT-20230309_0000214

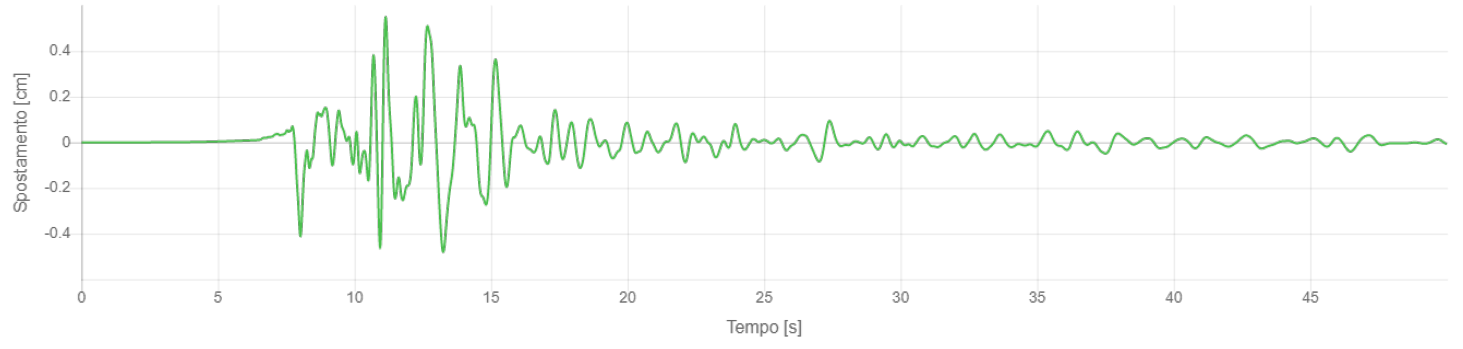


IT.UMBT.00 - Spostamento

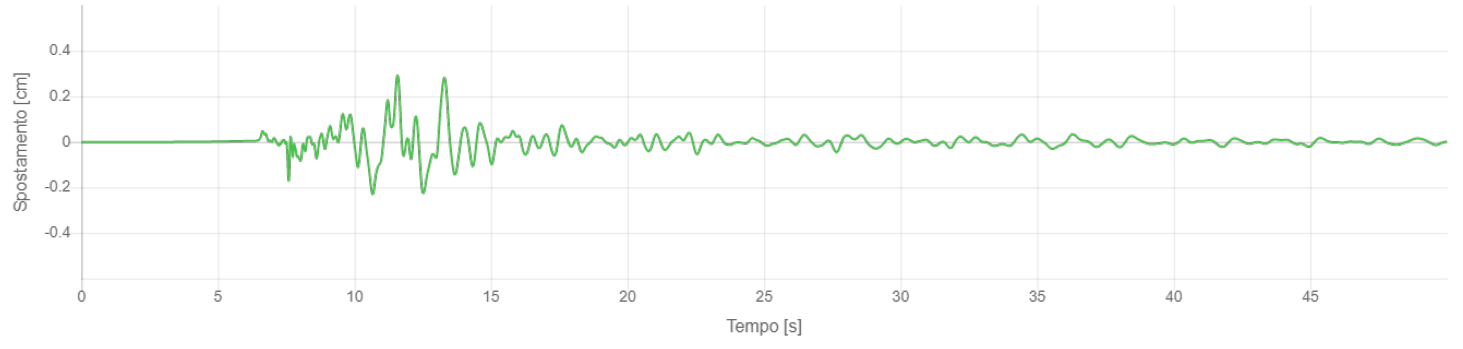
IT.UMBT.00.HGE.INT-20230309_0000214



IT.UMBT.00.HGN.INT-20230309_0000214

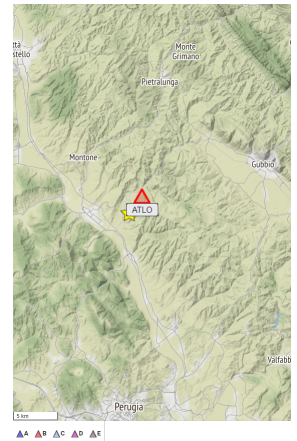


IT.UMBT.00.HGZ.INT-20230309_0000214

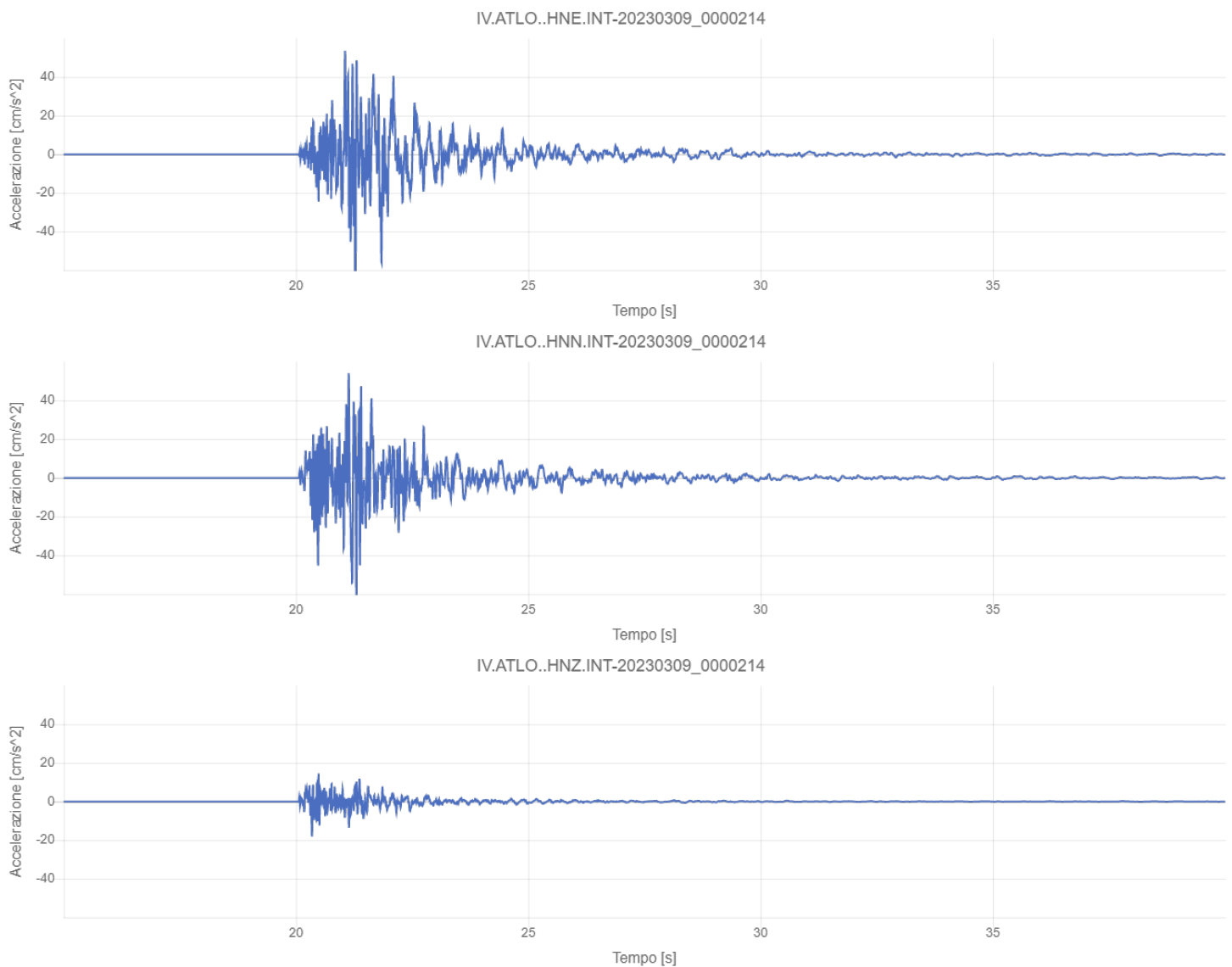


IV.ATLO. (AVT Montelovesco)

Codice rete:	IV	Descrizione rete:	Italian National Seismic Network (INSN)
Stazione:	ATLO	Nome stazione:	AVT Montelovesco
ID sensore:		Strumento:	HN
Processamento:	manuale (Paolucci et al., 2011)		
Rjb [km]:		Repi [km]:	2.5
Rrup [km]:		Rhyp [km]:	10.1
Classe EC8:	B	Vs30 [m/s]:	761

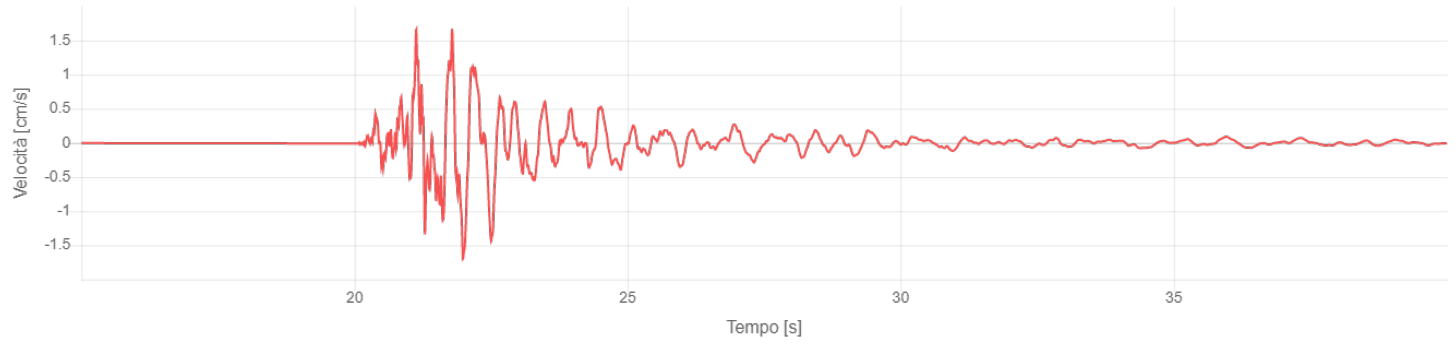


IV.ATLO. - Accelerazione

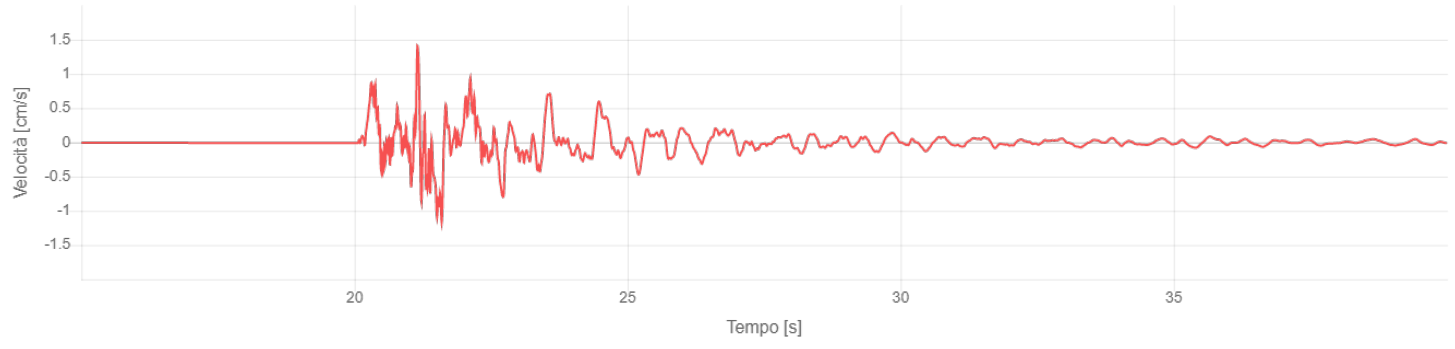


IV.ATLO. - Velocità

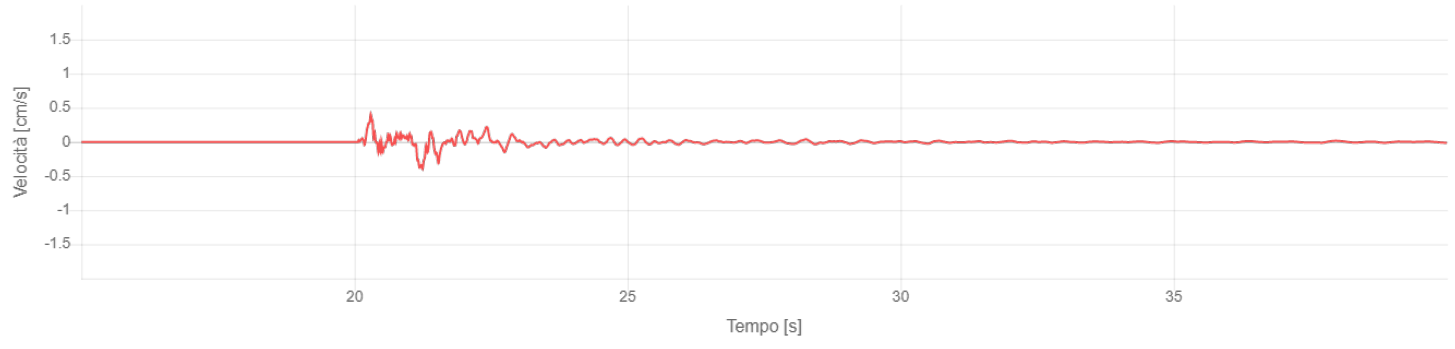
IV.ATLO..HNE.INT-20230309_0000214



IV.ATLO..HNN.INT-20230309_0000214

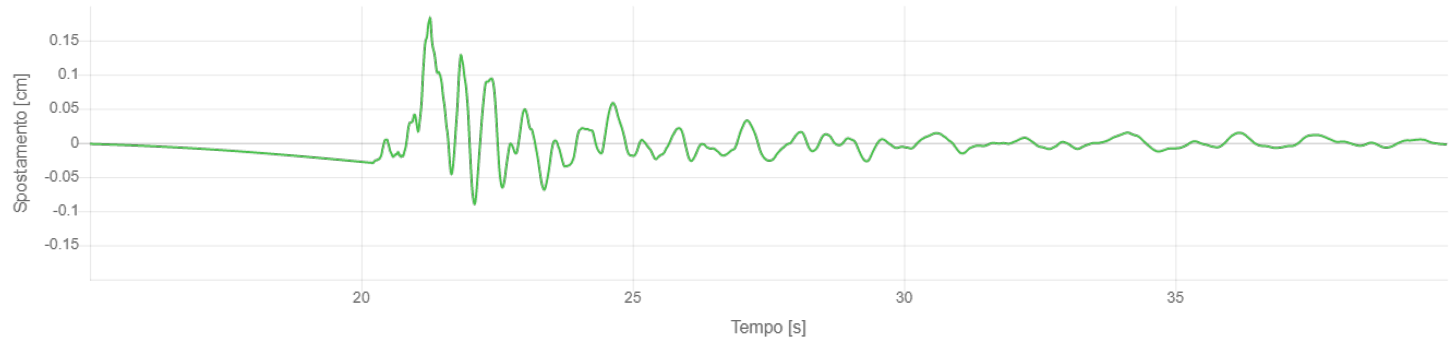


IV.ATLO..HNZ.INT-20230309_0000214

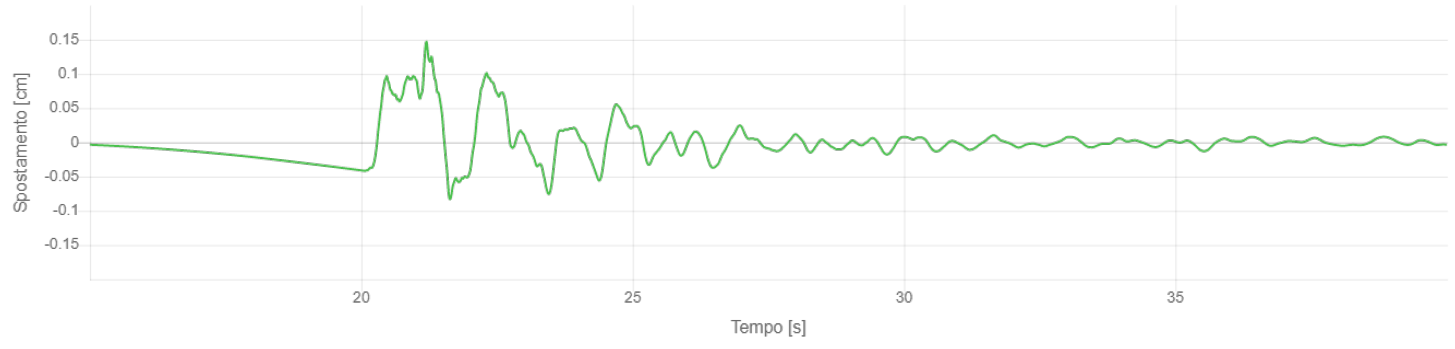


IV.ATLO. - Spostamento

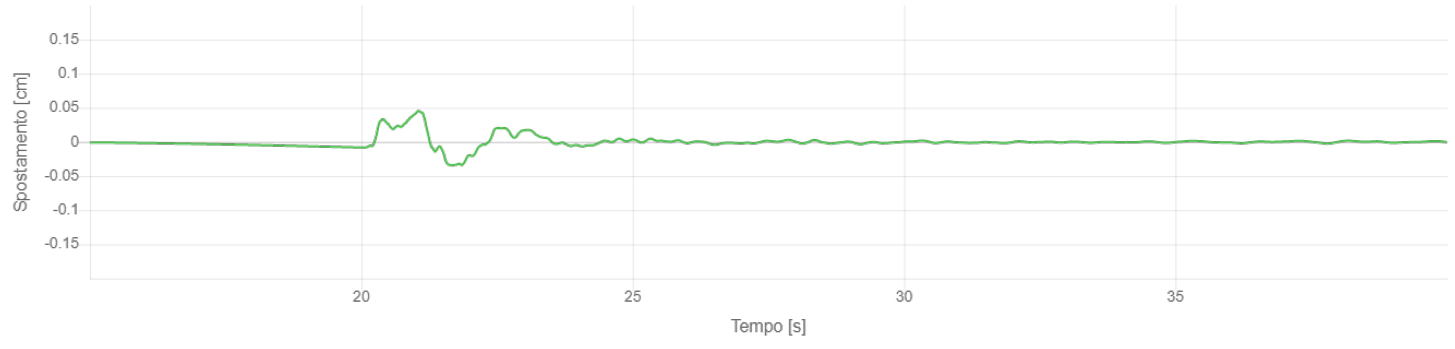
IV.ATLO..HNE.INT-20230309_0000214



IV.ATLO..HNN.INT-20230309_0000214

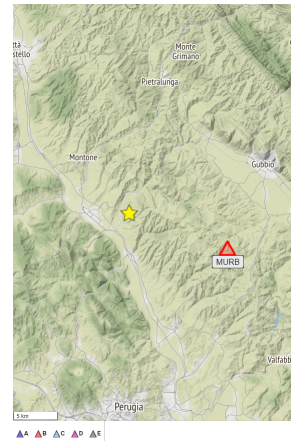


IV.ATLO..HNZ.INT-20230309_0000214



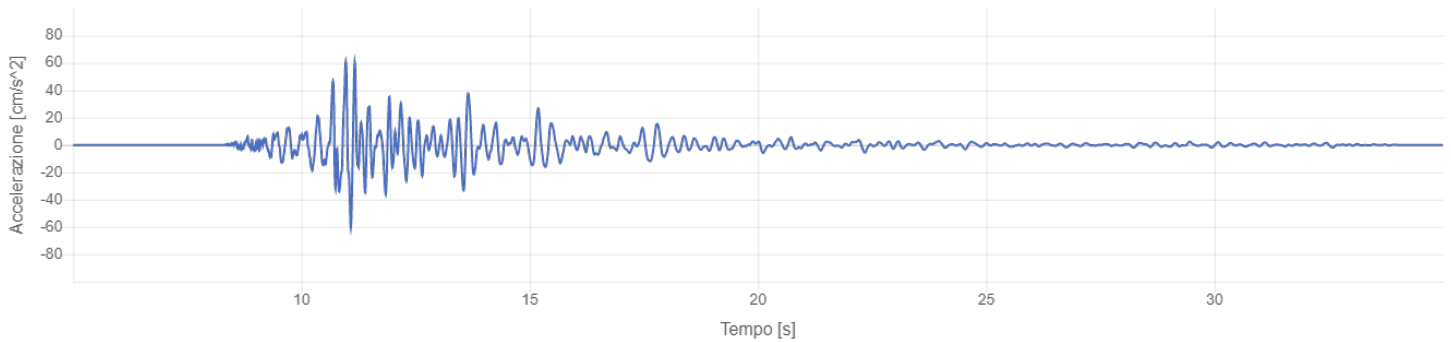
IV.MURB. (MONTE URBINO)

Codice rete:	IV	Descrizione rete:	Italian National Seismic Network (INSN)
Stazione:	MURB	Nome stazione:	MONTE URBINO
ID sensore:		Strumento:	HN
Processamento:	manuale (Paolucci et al., 2011)		
Rjb [km]:		Repi [km]:	11.6
Rrup [km]:		Rhyp [km]:	15.2
Classe EC8:	B	Vs30 [m/s]:	

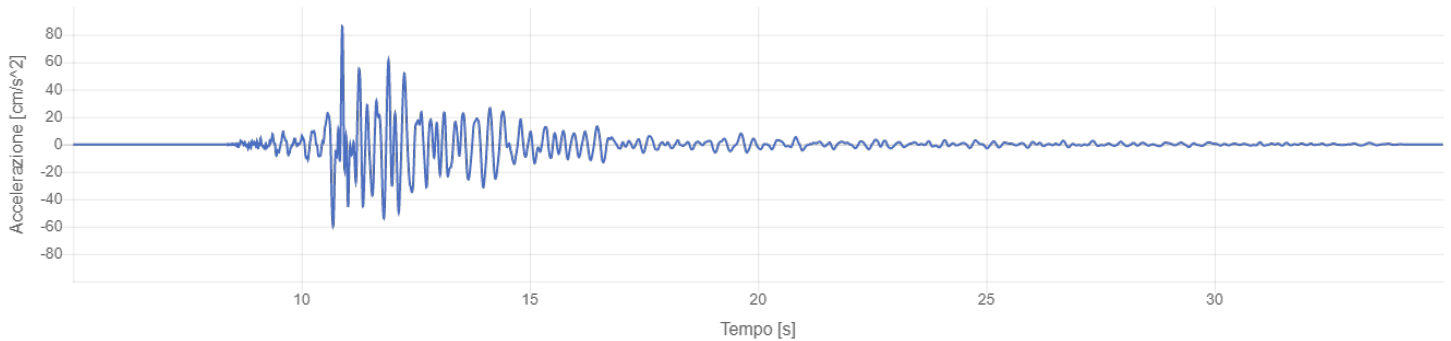


IV.MURB. - Accelerazione

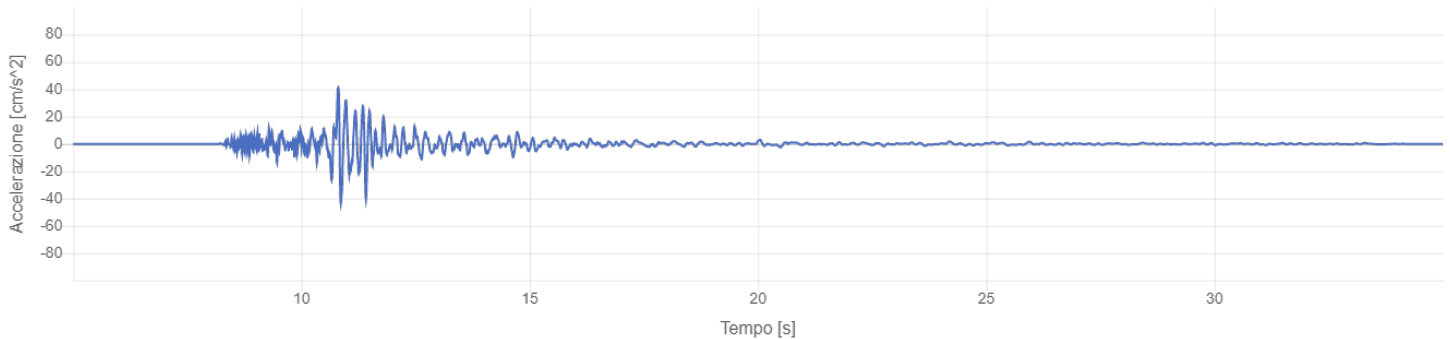
IV.MURB..HNE.INT-20230309_0000214



IV.MURB..HNN.INT-20230309_0000214

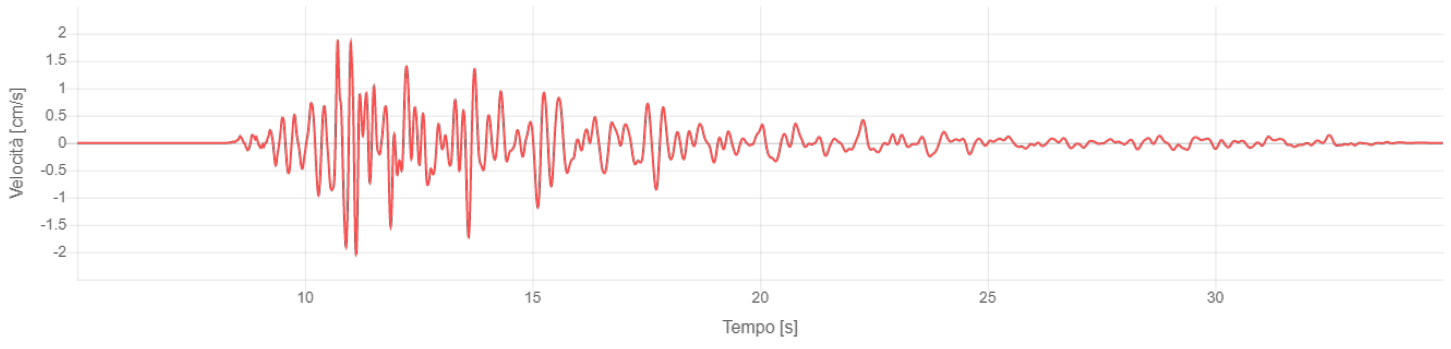


IV.MURB..HNZ.INT-20230309_0000214

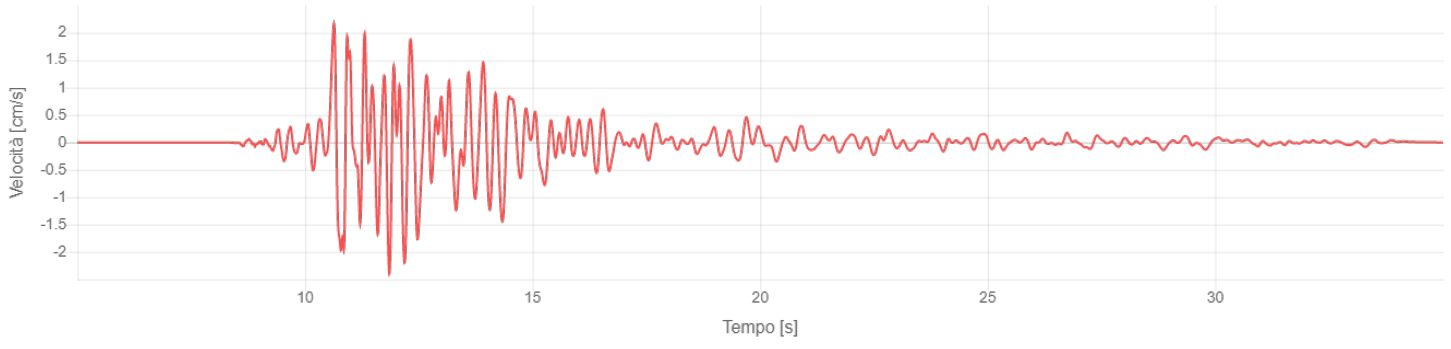


IV.MURB. - Velocità

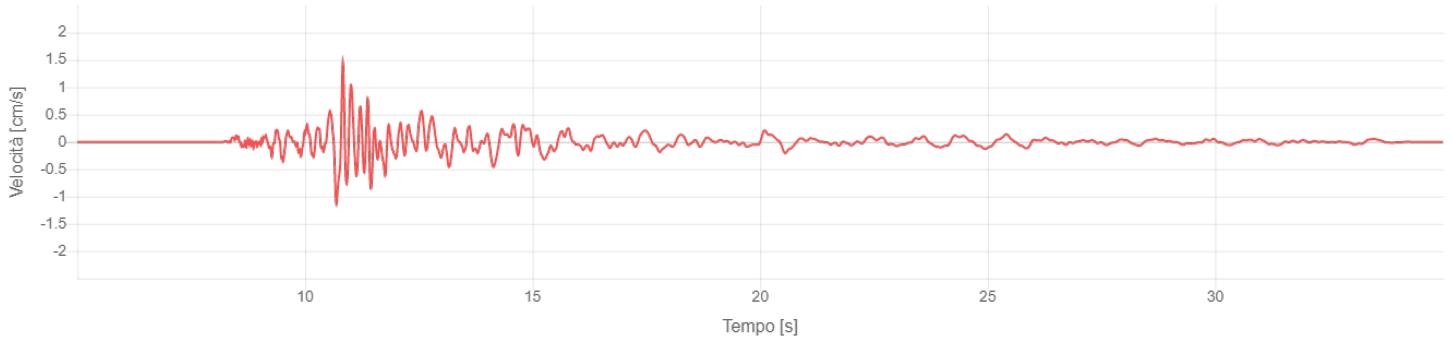
IV.MURB..HNE.INT-20230309_0000214



IV.MURB..HNN.INT-20230309_0000214



IV.MURB..HNZ.INT-20230309_0000214



IV.MURB. - Spostamento

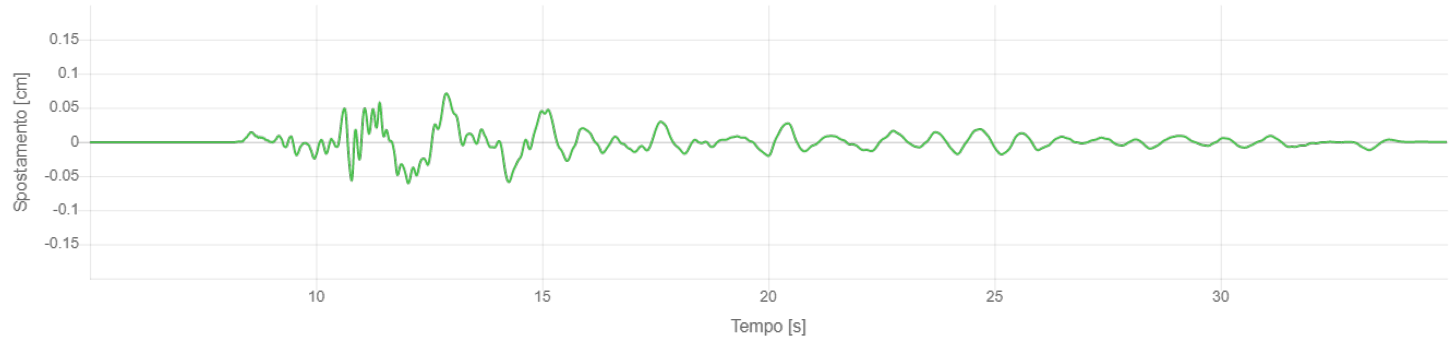
IV.MURB..HNE.INT-20230309_0000214



IV.MURB..HNN.INT-20230309_0000214

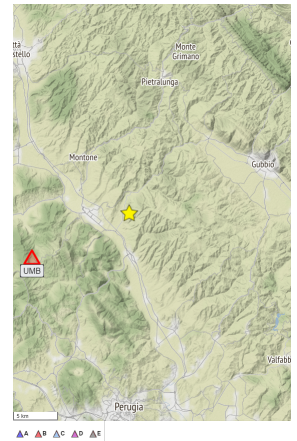


IV.MURB..HNZ.INT-20230309_0000214



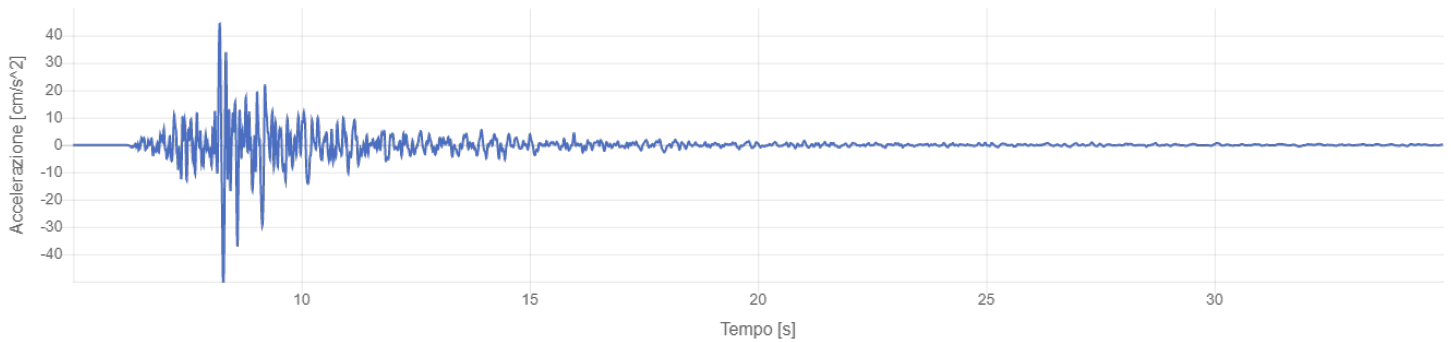
IT.UMB.00 (UMBERTIDE)

Codice rete:	IT	Descrizione rete:	Italian Strong Motion Network (RAN)
Stazione:	UMB	Nome stazione:	UMBERTIDE
ID sensore:	00	Strumento:	HG
Processamento:	manuale (Paolucci et al., 2011)		
Rjb [km]:		Repi [km]:	11.8
Rrup [km]:		Rhyp [km]:	15.4
Classe EC8:	B	Vs30 [m/s]:	

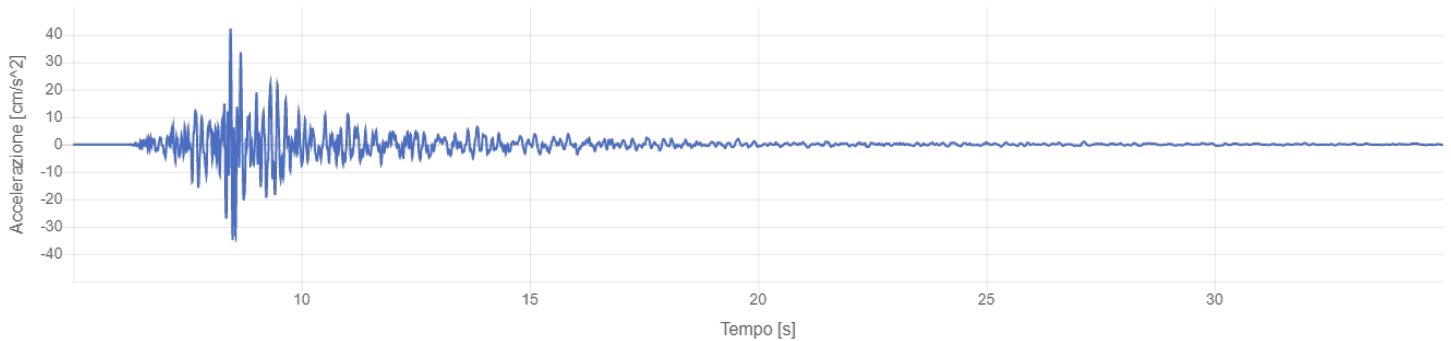


IT.UMB.00 - Accelerazione

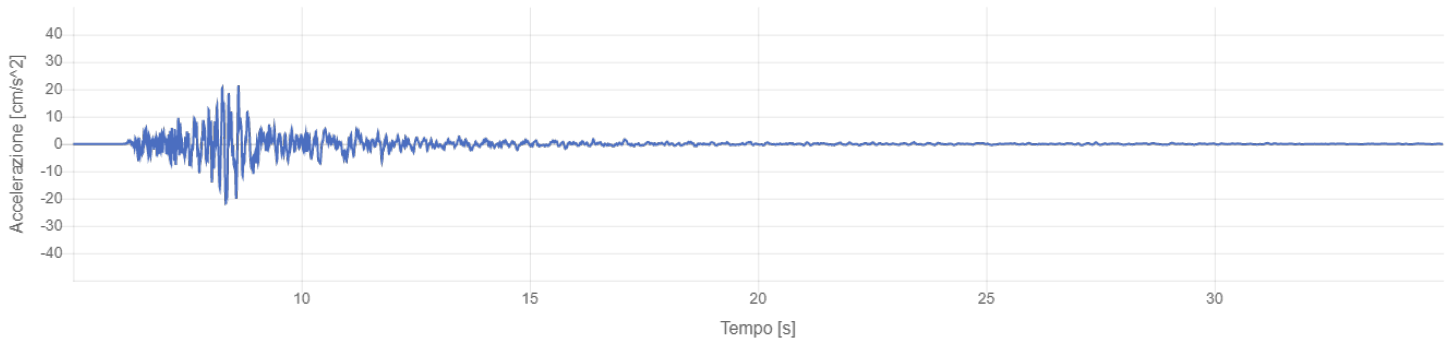
IT.UMB.00.HGE.INT-20230309_0000214



IT.UMB.00.HGN.INT-20230309_0000214

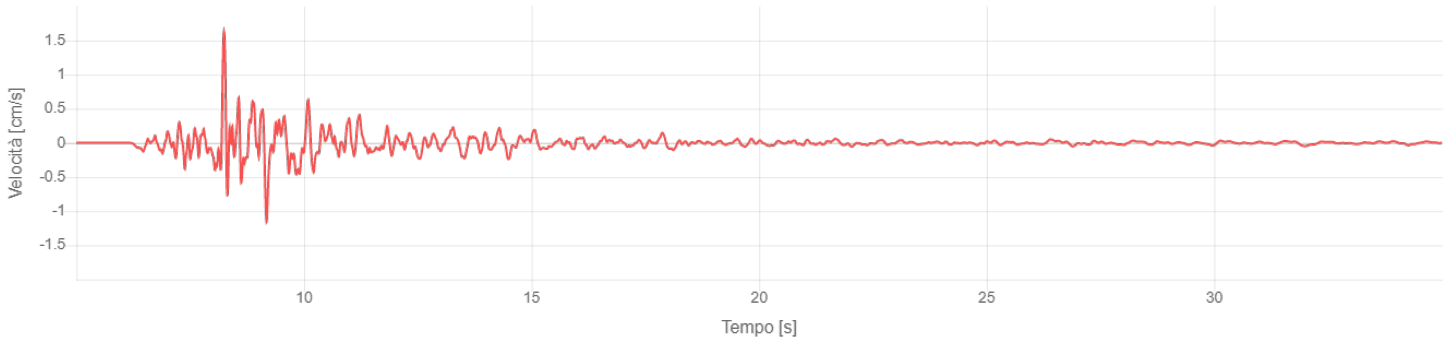


IT.UMB.00.HGZ.INT-20230309_0000214

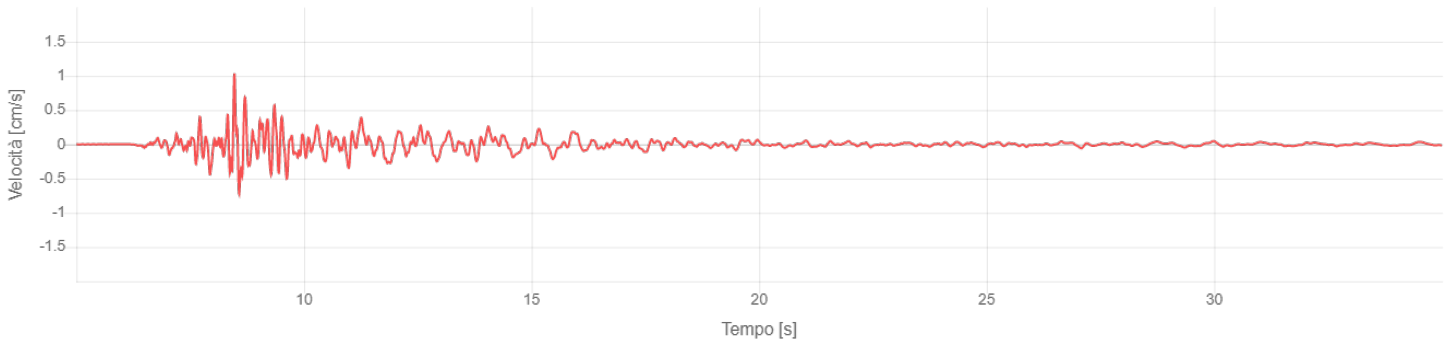


IT.UMB.00 - Velocità

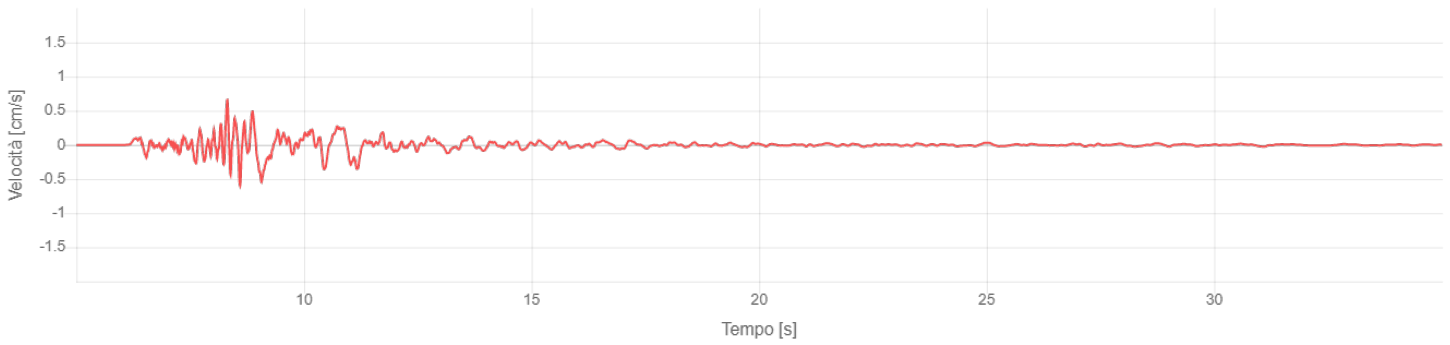
IT.UMB.00.HGE.INT-20230309_0000214



IT.UMB.00.HGN.INT-20230309_0000214



IT.UMB.00.HGZ.INT-20230309_0000214



IT.UMB.00 - Spostamento

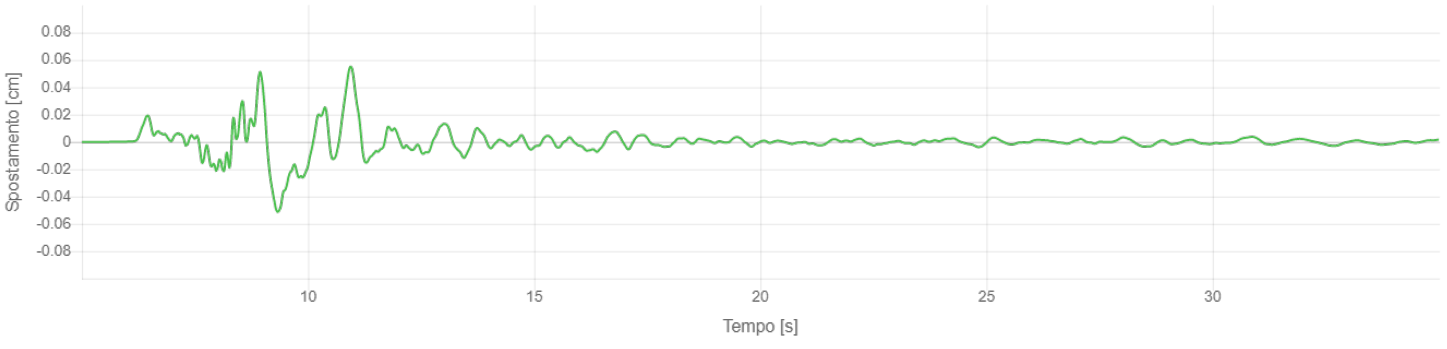
IT.UMB.00.HGE.INT-20230309_0000214



IT.UMB.00.HGN.INT-20230309_0000214

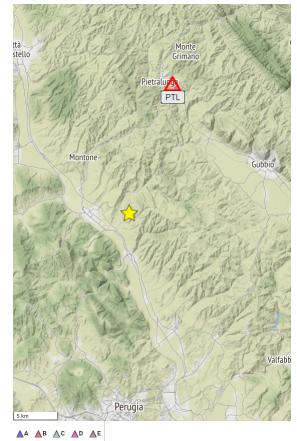


IT.UMB.00.HGZ.INT-20230309_0000214

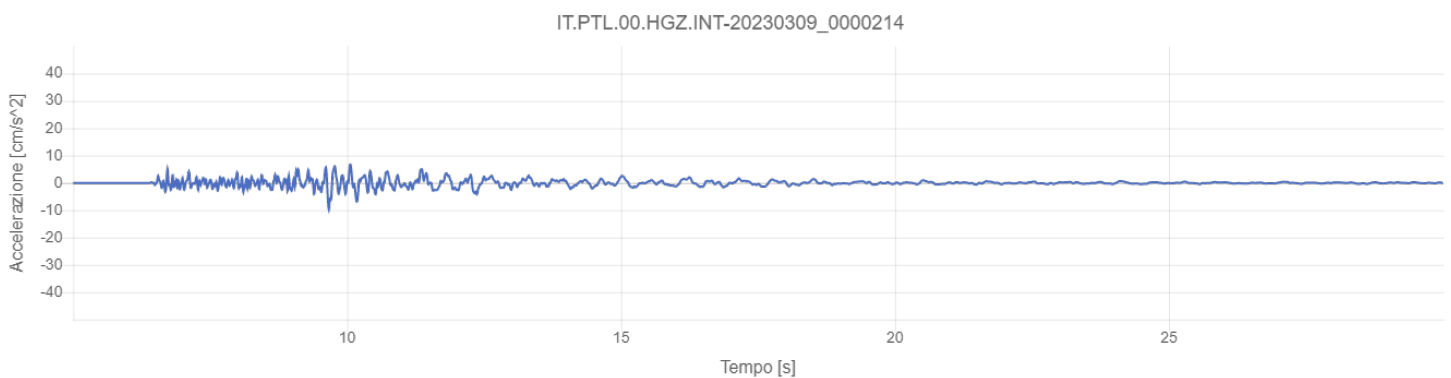
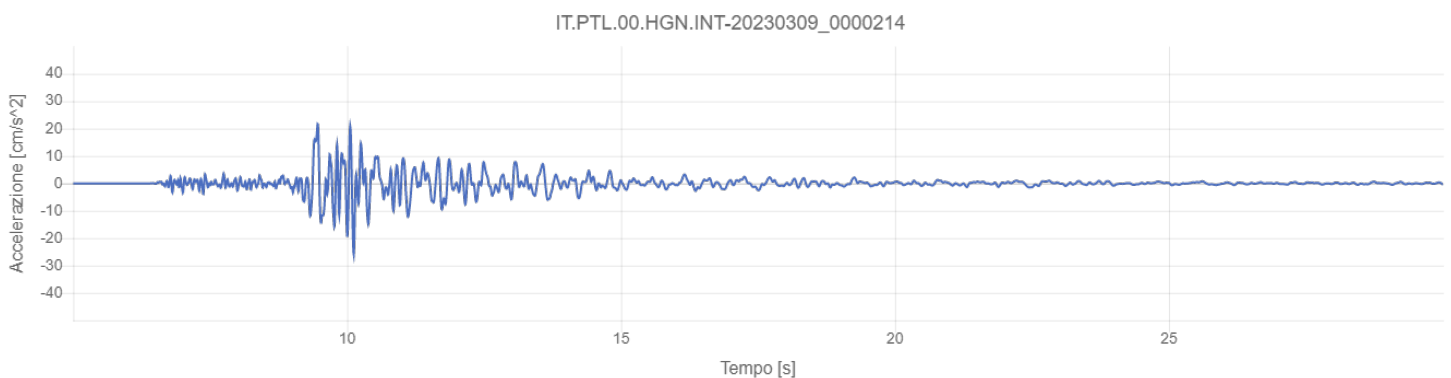
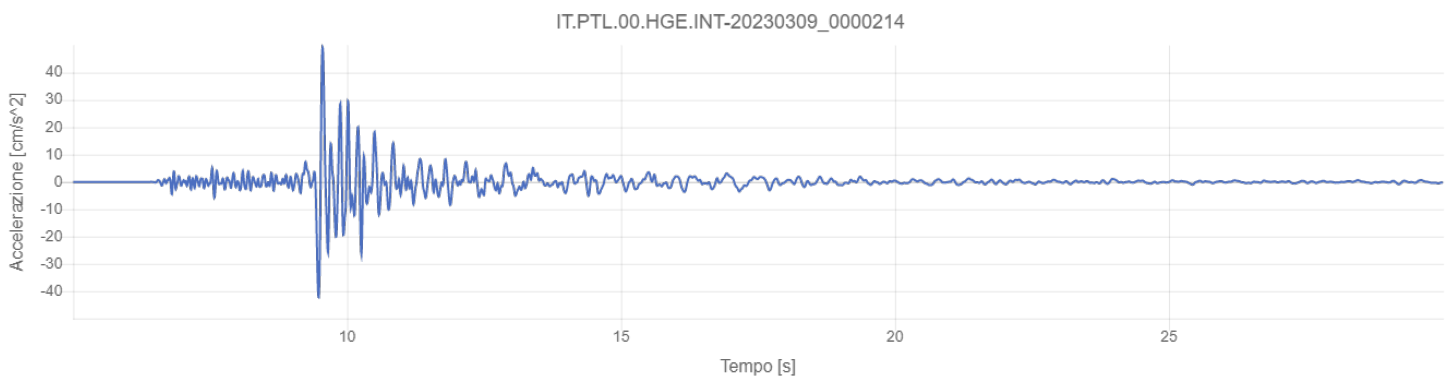


IT.PTL.00 (PIETRALUNGA)

Codice rete:	IT	Descrizione rete:	Italian Strong Motion Network (RAN)
Stazione:	PTL	Nome stazione:	PIETRALUNGA
ID sensore:	00	Strumento:	HG
Processamento:	manuale (Paolucci et al., 2011)		
Rjb [km]:		Repi [km]:	15.3
Rrup [km]:		Rhyp [km]:	18.2
Classe EC8:	B	Vs30 [m/s]:	

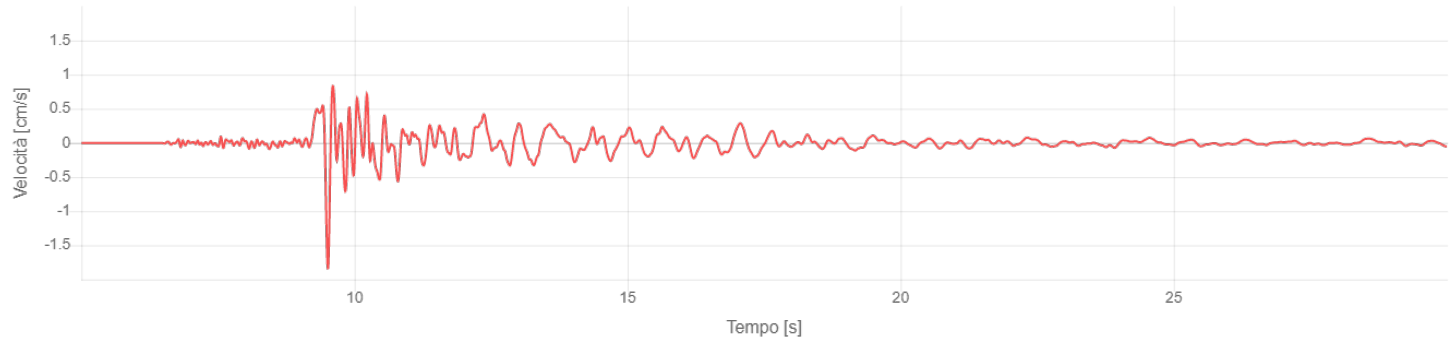


IT.PTL.00 - Accelerazione

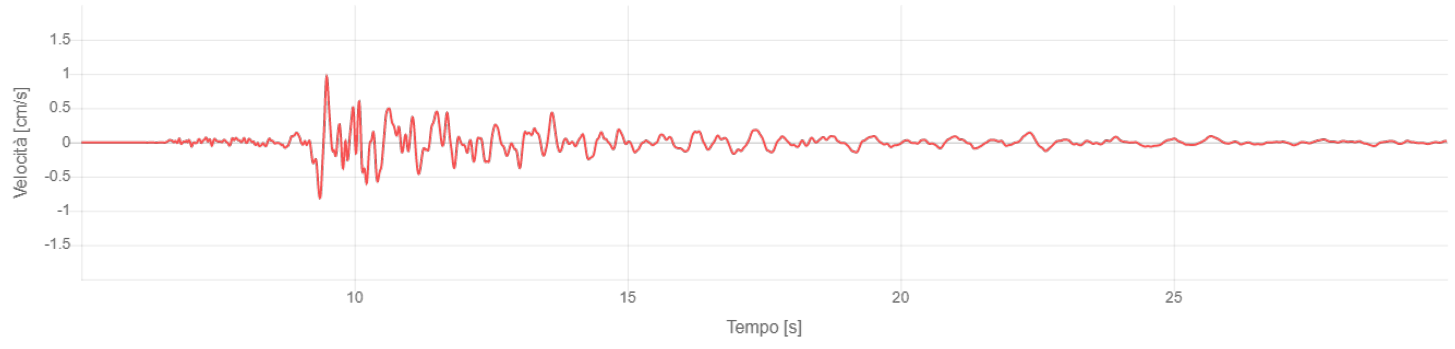


IT.PTL.00 - Velocità

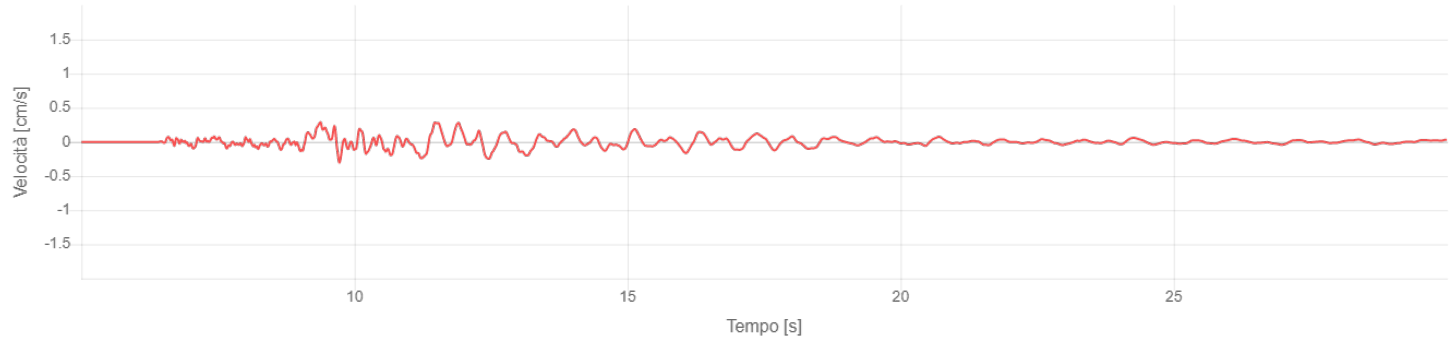
IT.PTL.00.HGE.INT-20230309_0000214



IT.PTL.00.HGN.INT-20230309_0000214

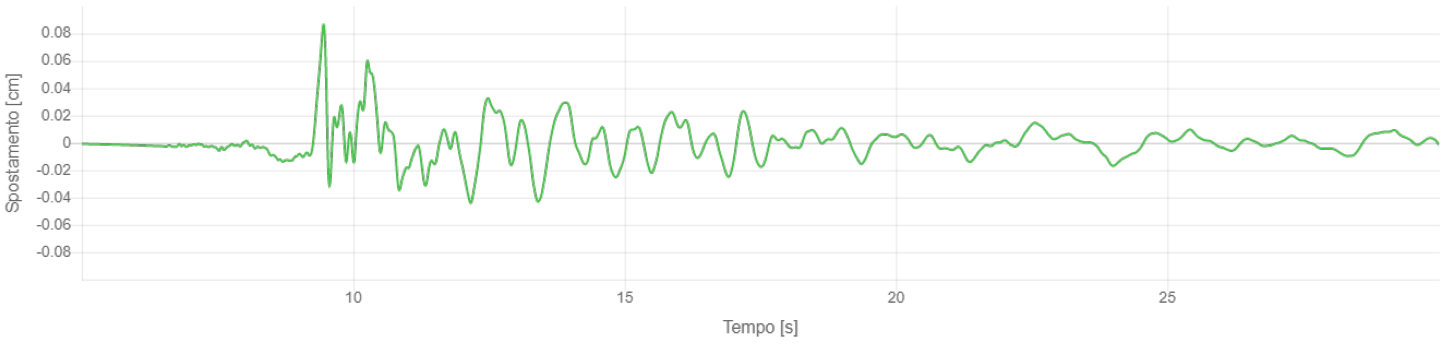


IT.PTL.00.HGZ.INT-20230309_0000214

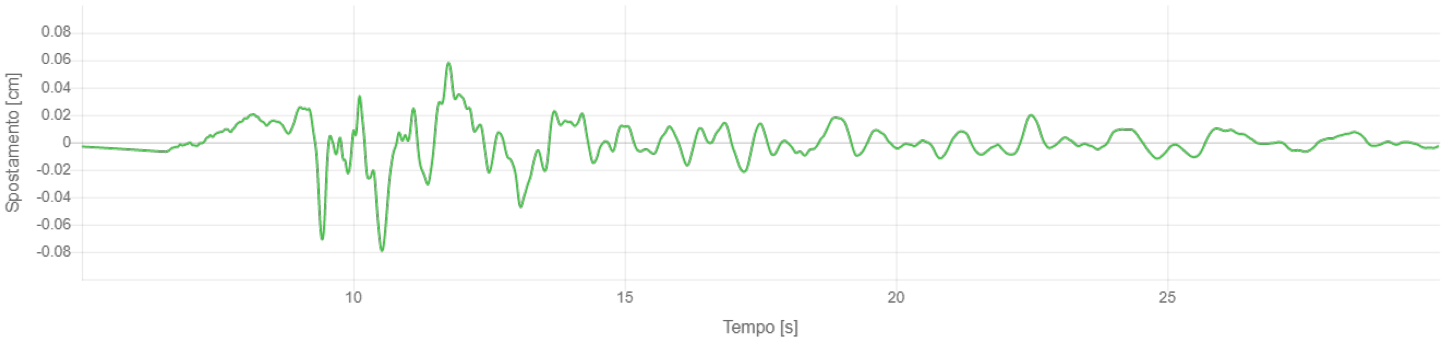


IT.PTL.00 - Spostamento

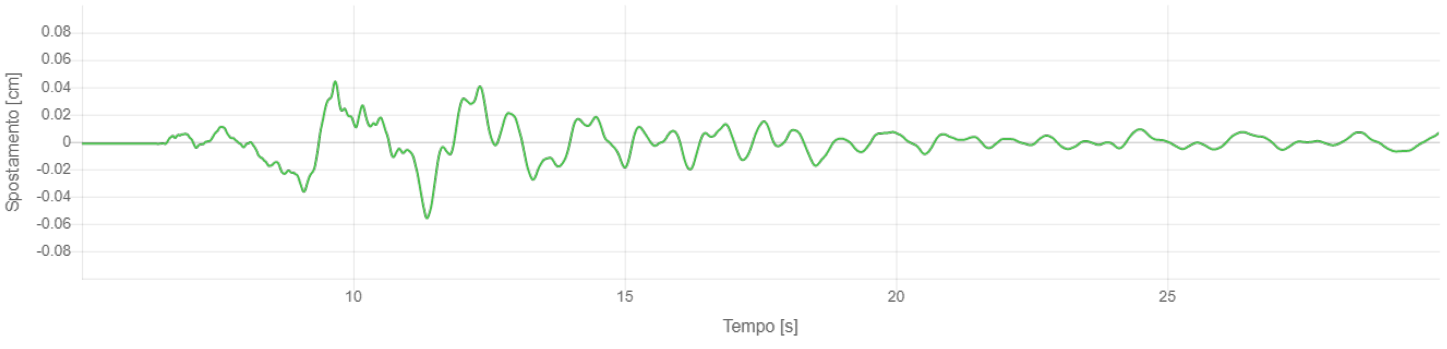
IT.PTL.00.HGE.INT-20230309_0000214



IT.PTL.00.HGN.INT-20230309_0000214

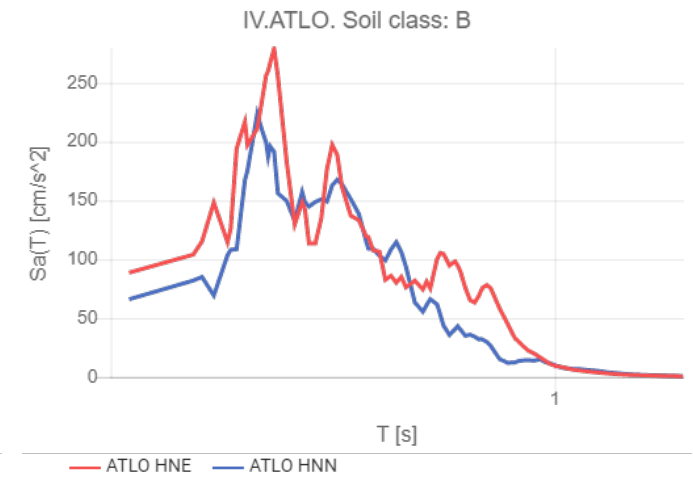
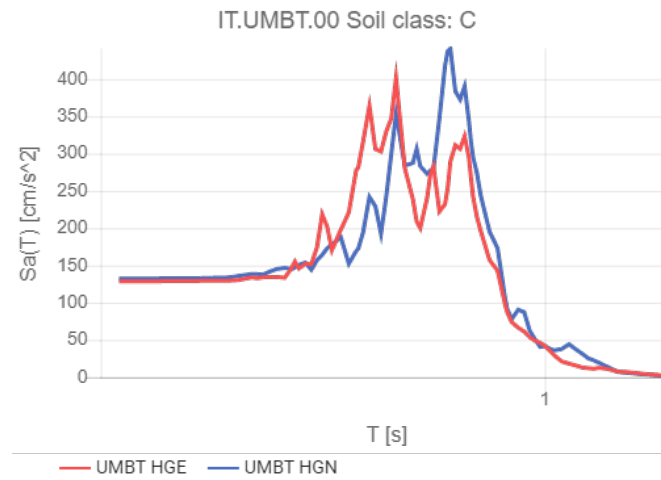
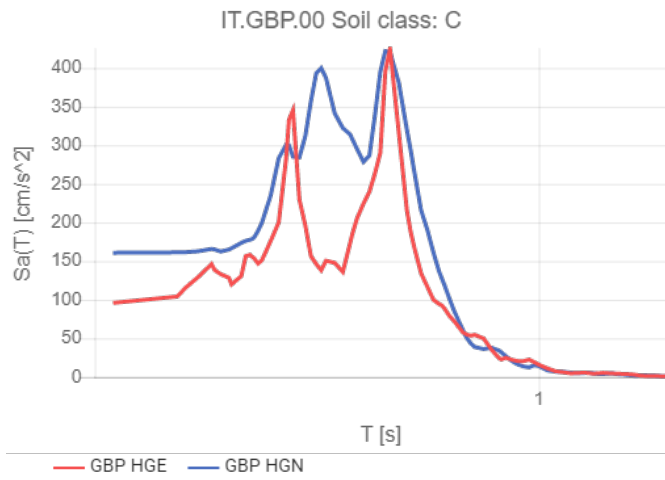


IT.PTL.00.HGZ.INT-20230309_0000214

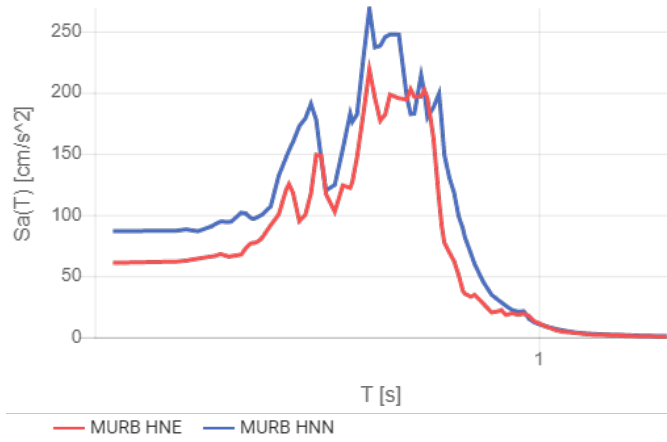


Componenti orizzontali

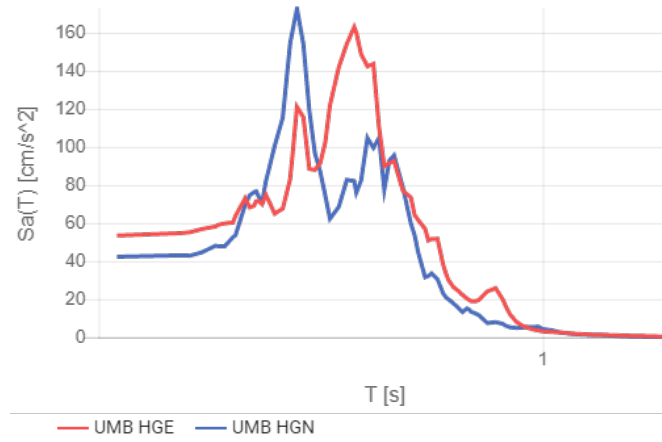
Target:



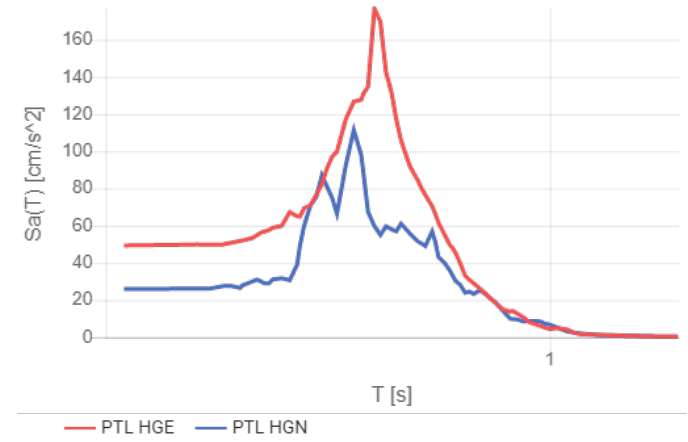
IV.MURB. Soil class: B



IT.UMB.00 Soil class: B



IT.PTL.00 Soil class: B



Componente verticale

Target:





Componenti orizzontali

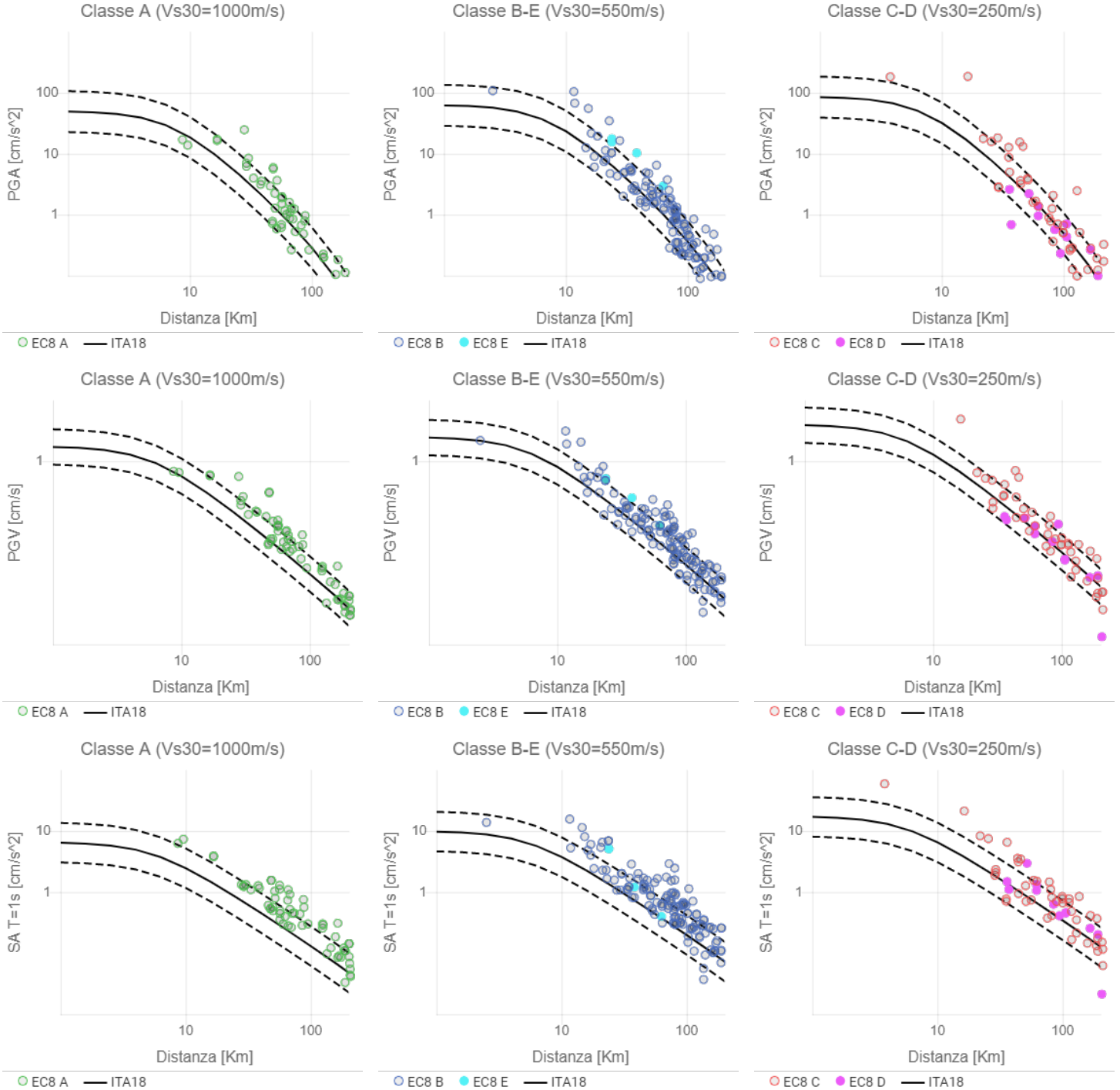
Regime sismotettonico:

Crosta attiva poco profonda
Rjb

Ground motion model:

ITA18

Distance metric:



Componenti verticali

Regime sismotettonico:

Crosta attiva poco profonda
Rjb

Ground motion model:

ITA18

Distance metric:

